





Europäisches Patentamt  
European Patent Office  
Office européen des brevets

Veröffentlichungsnummer:

**0 191 350**  
**A2**

## EUROPÄISCHE PATENTANMELDUNG

Anmeldenummer: 86101073.4

Int. Cl.<sup>4</sup>: **B 22 D 46/00, B 22 D 25/00**

Anmeldetag: 28.01.86

Priorität: 15.02.85 DE 3505346

Anmelder: **BEGO Bremer Goldschlägerei Wilh. Herbst GmbH & Co., Emil-Sommer-Strasse 7, D-2800 Bremen 41 (DE)**

Veröffentlichungstag der Anmeldung: 20.08.86  
Patentblatt 86/34

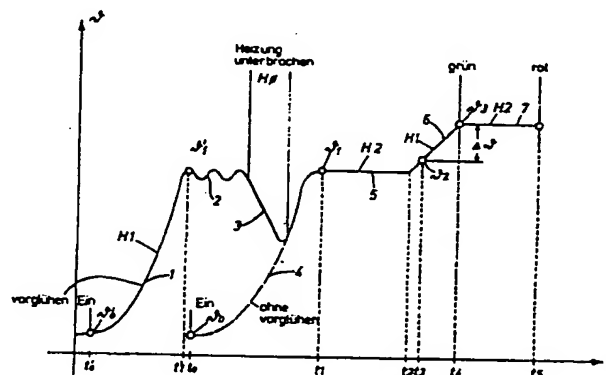
Erfinder: **Gundlach, Hans-Werner, Dr., Bordenauer Strasse 6, D-2800 Bremen 1 (DE)**  
Erfinder: **Jacob, Friedrich, Fischerteich 1, D-2804 Lilienthal (DE)**

Benannte Vertragsstaaten: DE FR GB IT

Vertreter: **Bohte, Erich, Dipl.-Ing. et al, Hollerallee 73, D-2800 Bremen (DE)**

**Verfahren zur Steuerung des Schmelz- und Gießvorganges der Feinglesstechnik, insbesondere der Dentaltechnik, und Vorrichtung zur Durchführung des Verfahrens.**

Beim Erwärmen eines Schmelzgutes der Dentaltechnik wird der zeitliche Verlauf der Temperatur ausgewertet. Ändert sich die Steilheit ( $d\theta/dt$ ) der Temperaturkurve um ein vorgegebenes Maß, so wird hierdurch der Liquiduspunkt erfaßt. Zeitpunkt und/oder Temperatur zum Gießen der Schmelze werden durch ein auf den so bestimmten Liquiduspunkt bezogenes Kriterium ( $\Delta\theta$ ;  $\Delta t$ ) bestimmt. Die Bestimmungswerte des Gießzeitpunktes und weitere Gießparameter werden gespeichert und bei nachfolgenden Schmelz- und Gießvorgängen als Steuergröße verwendet. Auch können die gesamten Temperaturverläufe aufeinanderfolgender Vorgänge gespeichert werden. Ein nachfolgend gemessener Temperaturverlauf wird während der Messung (abschnittsweise) mit den gespeicherten Temperaturverläufen verglichen. Bei Übereinstimmung (innerhalb vorgegebener Toleranzen) wird ein identifizierter, gespeicherter Temperaturverlauf als Soll-Verlauf für den weiteren Schmelz- und Gießvorgang verwendet.



# MEISSNER & BOLTE

0191350

PATENTANWÄLTE  
EUROPEAN PATENT ATTORNEYS  
BREMEN · MÜNCHEN\*

- 1 -

MEISSNER & BOLTE, Hollerallee 73, D-2800 Bremen 1

Anmelder:

BEGO Bremer Goldschlägerei  
Wilh. Herbst GmbH & Co.  
Emil-Sommer-Str. 7

2800 Bremen 41

Hans Meissner · Dipl.-Ing. (bis 1980)  
Erich Bolte · Dipl.-Ing.  
Dr. Eugen Popp · Dipl.-Wirtsch.-Ing.\*  
Wolf E. Sajda · Dipl.-Phys.\*  
Dr. Ulrich Hrabal · Dipl.-Chem.\*

BÜRO/OFFICE BREMEN  
Hollerallee 73  
D-2800 Bremen 1

Telefon: (0421) 342019  
Telex: 246157 meibo d  
Telefax: (0421) 342296

Ihr Zeichen  
Your ref.

Unser Zeichen  
Our ref.

BEG-116-EP

Bitte angeben/please quote

Datum  
Date

24. Januar 1986

Verfahren zur Steuerung des Schmelz- und Gießvorganges  
der Feingießtechnik, insbesondere der Dentaltechnik,  
und Vorrichtung zur Durchführung des Verfahrens

-----

## Beschreibung

Die Erfindung bezieht sich auf ein Verfahren zur Steuerung des Schmelz- und Gießvorganges der Feingießtechnik gemäß dem Oberbegriff des Patentanspruches 1 sowie auf eine Vorrichtung zur Durchführung des Verfahrens gemäß dem Oberbegriff des Patentanspruches 8.

Halbautomatische oder vollautomatische Steuereinrichtungen für den Schmelz- und Gießvorgang sind aus folgenden Druckschriften bekannt:

10 DE-OS 21 58 115, DE-AS 26 38 559, DE-OS 28 56 304,  
DE-OS 31 46 391, DE-OS 33 05 418, DE-OS 33 15 835,  
US 3 620 294 und dem Firmenprospekt "PRESTOMAT B1"  
der Firma DEGUSSA. Weiterhin ist aus der nach dem

- 1 Prioritätstage der vorliegenden Anmeldung veröffentlichten DE-OS 33 45 542 der Anmelderin eine ähnliche Steuerung bekannt.
- 5 Bei der DE-OS 21 58 115 wird der Gießvorgang dann eingeleitet, wenn nach Erreichen einer fest vorgegebenen Temperatur der Schmelze eine ebenfalls fest vorgegebene Zeitdauer verstrichen ist. In dem Firmen-
- 10 prospekt "PRESTOMAT B1" und der DE-OS 31 46 391 wird das Schmelzgut nach einer fest vorgegebenen Temperaturkurve, die als Sollwert für eine Regelung dient, erwärmt.
- 15 Bei der DE-OS 28 56 304 werden in Abhängigkeit von der Temperatur des Schmelzgutes unterschiedliche Leistungsstufen eines Transformators für eine Widerstandsheizung geschaltet.
- 20 Bei der DE-AS 26 38 559 wird das Schmelzgut mit einer Induktionsspule erwärmt, wobei der durch die Induktionsspule fließende Strom gemessen wird. Sobald dieser Strom eine sprunghafte Abnahme zeigt, wird dies als Signal für das Erreichen der Liquidus-
- 25 Temperatur ausgewertet.
- Bei der US-PS 3 620 294 wird im Ergebnis ebenfalls eine Temperaturkurve nachgefahren.
- 30 Nachteilig an diesen bekannten Verfahren bzw. Vorrichtungen ist es, daß die Gießtemperatur des Schmelzgutes möglichst exakt bekannt sein muß und daß Meßfehler durch gealterte Meßfühler, unterschiedliche Strahlungseigenschaften der Tiegel etc. das gesamte Gießergebnis so weit verfälschen können, daß die Schmelze bzw.
- 35

- 1 das Gußteil unbrauchbar sind. Wird nämlich die Gießtemperatur zu niedrig gewählt, so ist das Schmelzgut noch nicht vollständig geschmolzen, d. h. es sind noch
- 5 Primärkristalle vorhanden, was zu unbefriedigenden Gießergebnissen führt. Wird umgekehrt die Gießtemperatur zu hoch eingestellt, so treten beim Gießen im Formling Lunkerstellen auf.
- 10 Ein weiteres Problem liegt darin, daß die optimale Gießtemperatur bei verschiedenen Legierungen unterschiedliche Werte hat, die bisher empirisch ermittelt werden mußten. Hierzu war es erforderlich, die genaue Zusammensetzung der Legierung zu kennen
- 15 oder vor dem eigentlichen Gießen mühsame Versuche zur Ermittlung der optimalen Gießtemperatur durchzuführen.
- Aufgabe der Erfindung ist es daher, Verfahren und
- 20 Vorrichtung der gattungsbildenden Art dahingehend zu verbessern, daß die optimale Gießtemperatur bzw. der optimale Gießzeitpunkt auf einfache Weise ermittelbar sind.
- 25 Diese Aufgabe wird durch die im Kennzeichenteil der Patentansprüche angegebenen Merkmale gelöst.
- Bei der Erfindung wird die Erkenntnis ausgenutzt, daß der zeitliche Verlauf der Temperatur bzw. der
- 30 Strahlungsintensität des Schmelzgutes und insbesondere die zeitliche Änderung der Temperatur (Differentialquotient bzw. Differenzenquotient) hervorragende Aussagen über den Zustand des Schmelzgutes liefern. Besondere Aufmerksamkeit wird hierbei dem Schmelz-
- 35 intervall gewidmet. Bei Legierungen unterscheidet

1 man Solidus-Temperatur und Liquidus-Temperatur. Beim  
Aufheizen erfolgt das erste Aufschmelzen bei der  
Solidus-Temperatur. In der Schmelze befinden sich dann  
5 noch Primärkristalle, welche erst beim Erreichen der  
Liquidus-Temperatur vollständig aufgeschmolzen sind.  
Die Schmelze ist dann flüssig. Sie fällt bei Errei-  
chen der Liquidus-Temperatur im Tiegel zu einer Kugel-  
form zusammen und hat damit bei Erreichen der Liqui-  
10 dus-Temperatur die kleinstmögliche Oberfläche. Durch  
diese Oberflächenverringerung ist auch der Effekt  
der DE-AS 26 38 559 zu erklären, daß bei Verwendung  
eines Induktionsofens die induzierte Leistung am  
Liquiduspunkt sprunghaft abnimmt.

15 Beim anfänglichen Aufheizen steigt die Temperatur  
der Schmelze kontinuierlich bis zur Solidus-Tempera-  
tur. Dann wird die zugeführte Wärme für die Phasenum-  
wandlung benötigt. Die Temperatur der Schmelze steigt  
20 während der Phasenumwandlung mit einem anderen Gradien-  
ten. Bei manchen Legierungen steigt sie nahezu gar  
nicht, während bei anderen Legierungen die Abflachung  
der Temperaturkurve nur sehr undeutlich ausgeprägt ist.  
Nach vollständiger Phasenumwandlung (Liquidus-Tempera-  
25 tur) steigt bei weiterer Energiezufuhr die Temperatur  
wieder mit steilerem Gradienten an.

Ein Aspekt der Erfindung ist es, das Schmelzintervall  
automatisch durch Auswerten des zeitlichen Verlaufes  
30 der Temperatur zu identifizieren sowie durch externe  
Steuerung der Heizleistung das Schmelzintervall zu  
dehnen. Letzteres ist insbesondere bei Legierungen von  
Bedeutung, bei denen die Temperaturkurve im Schmelz-  
intervall nur eine schwach ausgeprägte Abflachung hat.  
35 Hiermit wird auch dem Effekt entgegengewirkt, daß bei

1 der üblicherweise hohen Heizleistung einer Induktions-  
spule die Schmelze nur inhomogen erwärmt wird und da-  
mit beispielsweise an der Oberfläche die Liquidus-Tem-  
5 peratur bereits erreicht ist, während im Inneren der  
Schmelze noch keine vollständige Phasenumwandlung  
stattgefunden hat. Dies kann dadurch erklärt werden,  
daß durch das Magnetfeld in der beheizten Schmelze  
Induktionsströme entstehen, die die Temperatur stei-  
10 gern, wobei bei hoher Energie oder hohen Frequenzen  
wegen des "Skin-Effektes" die äußeren Schichten des  
Schmelzgutes stärker aufgeheizt werden als das Innere  
der Schmelze. In diesem Fall ist das Schmelzintervall  
nicht deutlich ausgeprägt; insbesondere fehlt ein ein-  
15 deutig erkennbarer horizontaler Abschnitt der Tempe-  
raturkurve. Aus diesem Grunde und um eine homogene  
Temperatur in der Schmelze zu erzielen, wird nach  
einem Aspekt der Erfindung bei Annäherung an die  
Solidus-Temperatur oder zumindest bei Erreichen der-  
20 selben die Heizleistung zurückgeschaltet, während  
sie beim Aufheizen bis zur Solidus-Temperatur und  
nach Erreichen des Schmelzintervalles wieder auf  
höhere Werte geschaltet wird. Nach Durchlaufen des  
Schmelzintervalles wird das Schmelzgut nach einem  
25 Aspekt der Erfindung um einen vorgegebenen Tempera-  
turwert weiter aufgeheizt, bis die Gießtemperatur  
erreicht ist.

Dieser Temperaturwert, um den die Schmelze nach Er-  
30 reichen der Liquidus-Temperatur überhitzt wird, könnte  
vom Bediner extern vorgegeben werden (z.B. 100°C über  
der Liquidus-Temperatur). Hierbei tritt jedoch die  
Gefahr von Bedienungsfehlern auf, zumal der jeweils  
optimale Wert der Temperaturüberhöhung (über die  
35 Liquidus-Temperatur hinaus) noch von weiteren Faktoren

- 1 abhängt, wie z. B. der Art der verwendeten Legierung,  
der zu gießenden Menge etc.
- 5 Der wichtigste Aspekt der Erfindung beschäftigt sich  
daher primär mit dem Problem, die optimale Gießtem-  
peratur bzw. den optimalen Gießzeitpunkt ausgehend  
vom Liquiduspunkt zu bestimmen. Hierzu schlägt die  
10 Variante wird nach Erreichen der Liquidus-Temperatur  
für eine fest vorgegebene Zeitdauer (z. B. 22 s)  
weiter geheizt und dann der Gießvorgang ausgelöst.  
Nach einer anderen Variante wird eine Temperaturüber-  
höhnung als Auslösekriterium verwendet. In beiden  
15 Fällen wird nach einer Weiterbildung der Erfindung  
das jeweils aktuelle Auslösekriterium (Zeit oder  
Temperaturüberhöhnung) bei jedem Gießvorgang gemes-  
sen und gespeichert. Ergibt sich nach dem Gießen  
und Abkühlen, daß ein einwandreies Gießergebnis vor-  
20 liegt, so können bei späteren Schmelz- und Gießvor-  
gängen diese gespeicherten Werte des Auslösekrite-  
riums abgerufen und als Sollwert für die Auslösung  
des Gießvorganges verwendet werden. Nach einer Wei-  
terbildung der Erfindung werden während des gesamten  
25 Aufheizvorganges bis zum Gießzeitpunkt alle Tempera-  
turwerte in Abhängigkeit der Zeit gespeichert. Es  
wird also die "Temperaturkurve" gespeichert. Bei  
nachfolgenden Schmelzvorgängen stellt sich eine  
Temperaturkurve ein, deren exakter Verlauf von vie-  
30 len Parametern, wie z. B. Art der Legierung, Menge  
etc. abhängt. Der dann aktuell gemessene Kurvenver-  
lauf wird mit den gespeicherten Kurvenverläufen ver-  
glichen. Dies kann kontinuierlich oder abschnitt-  
weise geschehen. Entspricht nun die gemessene Kurve  
35 innerhalb vorgegebener Toleranzen einer der gespeicher-



- 1  
ten Kurven, so wird die gespeicherte Kurve identifiziert und als Sollwert für die weitere Aufheizung verwendet. Sobald also eine der gespeicherten Kurven  
5 identifiziert wurde, wird der weitere Aufheiz- und Gießvorgang nur noch nach dieser Kurve gesteuert.
- In Weiterbildung dieser Variante ist auch vorgesehen, die Istwerte der Temperaturkurve sowie sonstige gemessene oder eingegebene Parameter auszudrucken. Hier-  
10 druch hat in der Dentaltechnik das Zahnlabor und/oder der Zahnarzt einen eindeutigen Nachweis über die "Vorgeschichte" des gegossenen Gegenstandes.
- 15 Weiter ist zu beachten, daß auch die Menge des Schmelzgutes ein Parameter ist, der das Gießergebnis beeinflusst. So muß beispielsweise bei größerer Menge das Schmelzintervall möglichst langsam durch-  
fahren werden. Auch muß bei größerer Menge die Tem-  
20 peraturüberhöhung über die Liquidus-Temperatur hinaus etwas größer sein, um die während des Gießens auftretenden Abkühlungen der Schmelze für die bei größerer Menge benötigte Gießzeit auszugleichen. Nach einer  
Weiterbildung der Erfindung wird die Menge des zu  
25 schmelzenden Gutes in überraschend einfacher Weise dadurch bestimmt, daß der Wert der von der Induktionsspule aufgenommenen und damit auch von ihr im Schmelzgut induzierten Leistung gemessen wird. Bei konstanter Speisespannung wird hierzu der der Induktionsspule  
30 zugeführte Strom gemessen. Dieser gemessene Wert wird als Korrekturwert für die Steuerung verwendet. Insbesondere werden die Werte für die Auslösekriterien (Zeit oder Temperaturerhöhung) entsprechend erniedrigt oder heraufgesetzt.

1 Im folgenden wird die Erfindung anhand von Ausführungs-  
beispielen im Zusammenhang mit der Zeichnung ausführlicher  
erläutert. Es zeigt:

5 Fig. 1 den Temperaturverlauf des Schmelzgutes bei  
dem Verfahren nach der Erfindung beim Gießen  
an der Atmosphäre;

Fig. 2 einen ähnlichen Temperaturverlauf beim Gießen  
10 im Vakuum;

Fig. 3 zwei Vergleichskurven des Temperaturverlaufes  
mit normalem und gestrecktem Schmelzintervall;

Fig. 4 zwei Ausführungsbeispiele von Gießgeräten,  
15 und bei denen die Erfindung zur Anwendung kommt;  
Fig. 5

Fig. 6 eine schematische Ansicht eines Bedientableaus  
für die Vorrichtung nach der Erfindung;

20 Fig. 7 ein Blockschaltbild der Steuereinheit der  
Vorrichtung nach der Erfindung;

Fig. 8 den Temperaturverlauf bei alten und neuen  
Kohletiegeln;

25 Fig. 9 den Temperaturverlauf des Schmelzgutes bei  
schwach ausgeprägtem Schmelzintervall, wie  
er beispielsweise bei Goldlegierungen auftritt;

30 Fig. 10 den zeitlichen Verlauf der von der  
Induktionsspule im Schmelzgut indu-  
zierten Leistung (bei konstanter  
Versorgungsspannung) bei verschiedenen  
Mengen des Schmelzgutes;

35 Fig. 11 eine weitere schematische Ansicht  
eines Bedientableaus für die Vorrich-  
tung nach der Erfindung.

- 1 Fig. 1 zeigt ein Diagramm der Temperatur  $\vartheta$  über der Zeit  $t$ . Das Schmelzgut befindet sich vor Einschalten der Heizung auf der Temperatur  $t_0$  (Zeitpunkt  $t_0, t'_0$ ).
- 5 Zum an sich bekannten Vorglühen wird die Induktions-  
spule mit voller Heizleistung  $H_1$  betrieben. Die Tem-  
peratur der Schmelze steigt relativ schnell, d. h.  
steil an, was im Kurvenabschnitt 1 gezeigt ist. Zum  
Zeitpunkt  $t'_1$  wird die Solidus-Temperatur  $\vartheta'_1$  erreicht,  
10 d. h. erste Legierungsbestandteile gehen von der festen  
Phase in die flüssige Phase über. Trotz voller Heiz-  
leistung  $H_1$  steigt die Temperatur zu diesem Zeitpunkt  
nicht mehr so stark wie bisher an, vielmehr geht die  
Temperaturkurve in einen flachen Abschnitt über. Beim  
15 Erreichen von  $\vartheta'_1$  der Solidus-Temperatur, wird in der  
Kurve  $H_1$  ein Abflachen erkannt. Der Differential-  
quotient  $d\vartheta/dt$  ist also kleiner als ein Sollwert.  
Beim Vorglühen wird nun die Beheizung periodisch ein-  
und ausgeschaltet, um die Gußstücke auf der erreich-  
20 ten Temperatur zu halten. Die Beheizung wird geregelt  
durch Messung der Strahlungsintensität (entsprechend  
 $\vartheta'_1$ ). Die dargestellten oszillierenden Temperatur-  
verläufe ergeben sich aus der Ein- und Ausschaltung  
der Heizung. Dieses sogenannte "Vorglühen" ist wich-  
25 tig, um alle Gußstücke in der Nähe der Solidus-Tem-  
peratur auf die gleiche Temperatur zu bringen.

- Nach Ablauf einer vorgegebenen Zeitdauer seit dem  
Erreichen der Solidus-Temperatur  $\vartheta'_1$  wird das Vor-  
30 glühen beendet, d. h. die Heizung wird abgeschaltet  
(Heizleistung  $H_0$ ). Es ist dann auch möglich, eine  
Gußmuffel in das Gießgerät einzulegen. Wegen der ab-  
geschalteten Heizleistung fällt die Temperatur wieder  
etwas ab, was im Kurvenabschnitt 3 dargestellt ist.
- 35 Sodann wird die Heizung wieder voll eingeschaltet,

- 1 d. h. auf die Heizleistung  $H_1$ . Es folgt wiederum ein  
verhältnismäßig steiler Temperaturanstieg, bis zum  
Zeitpunkt  $t_1$  die Temperaturkurve abflacht und die  
5 Solidus-Temperatur  $\vartheta_1$  wiederum erreicht ist. Dies  
wird dadurch erkannt, daß der zeitliche Anstieg oder  
genauer gesagt der Differentialquotient  $d\vartheta/dt$  unter  
einen vorgegebenen Wert fällt. Der Beginn des Schmelz-  
intervalles ist nun erreicht.
- 10 Wird ohne Vorglühen geheizt, so wird vom Zeitpunkt  
 $t_0$  und der Temperatur  $\vartheta_0$  längs der gestrichelten Linie  
4 hochgefahren, bis die Solidus-Temperatur  $\vartheta_1$  erreicht  
ist.
- 15 Zum Strecken des Schmelzintervalles wird nun zum Zeit-  
punkt  $t_1$  die Heizleistung auf einen geringeren Wert  $H_2$   
umgeschaltet, so daß sich die Temperatur nur sehr ge-  
ringfügig ändert. Dies ist durch den Kurvenabschnitt 5  
20 dargestellt. Durch die Streckung des Schmelzinter-  
valles ist nun eine homogene Temperaturverteilung  
möglich, und alle Legierungsbestandteile können von  
der festen in die flüssige Phase übergehen. Diese ist  
zum Zeitpunkt  $t_2$  erreicht, worauf die Temperatur trotz  
25 der noch verringerten Heizleistung  $H_2$  wieder ansteigt.  
Dieses Ansteigen wird zum Zeitpunkt  $t_3$  eindeutig iden-  
tifiziert, da der Differentialquotient des Temperatur-  
verlaufes wiederum einen bestimmten Schwellwert über-  
schritten hat. Die zu diesem Zeitpunkt  $t_3$  vorhandene  
30 Temperatur  $\vartheta_2$  stellt in erster Näherung die Liquidus-  
Temperatur dar, die das Ende des Schmelzintervalles  
anzeigt. Diese Temperatur  $\vartheta_2$  wird gespeichert, worauf  
die Heizung wieder auf volle Heizleistung  $H_1$  umge-  
schaltet wird. Die Temperatur steigt gemäß dem Kurven-  
35 abschnitt 6 weiter an. Ist die Temperatur der Schmelze

1 ausgehend von der Liquidus-Temperatur  $\vartheta_2$  um einen vorgegebenen festen Wert  $\Delta\vartheta$  angestiegen und hat zum Zeitpunkt  $t_4$  die Temperatur den Wert  $\vartheta_3 = \vartheta_2 + \Delta\vartheta$  erreicht,  
5 so ist die gewünschte Gießtemperatur  $\vartheta_3$  erreicht.  
Es wird nun ein die Gießbereitschaft anzeigendes Signal (in Fig. 1 Bezeichnung "grün") erzeugt, und gleichzeitig wird die Heizleistung wiederum auf einen geringeren Wert H2 umgeschaltet, der so gewählt ist,  
10 daß die Temperatur nicht weiter ansteigt (Kurvenabschnitt 7).

15

20

Es wird nun ein "Gießintervall" festgelegt, d. h. innerhalb einer festgelegten Zeitdauer ( $t_4 - t_5$ ) ab dem Erreichen der Gießtemperatur  $\vartheta_3$  muß der Gießvorgang abgeschlossen sein.  
25 In der konkreten Schaltung wird hierfür ein Zeitgeber gestartet, der nach Ablauf einer fest vorgegebenen Zeitdauer ein Warnsignal (in der Zeichnung mit "rot" bezeichnet) erzeugt, das anzeigt, daß die Gießzeit abgelaufen ist.

30

Aus Fig. 1 ist zu erkennen, daß bei der Erfindung - im Gegensatz zum Stand der Technik - nicht mehr mit einer fest voreingestellten Gießtemperatur gearbeitet wird;

35

1 vielmehr wird diese Gießtemperatur als relativer Wert  
 aus dem Temperaturverlauf des Schmelzgutes ermittelt.  
 Unabhängig von der jeweils zu schmelzenden Legierung  
 5 wird somit selbsttätig die optimale Gießtemperatur er-  
 mittelt.

Fig. 2 zeigt eine ähnliche Temperaturkurve für das  
 Gießen im Vakuum. Hier kann jedoch der Effekt auftre-  
 10 ten, daß nach weiterem Aufheizen über die Liquidus-  
 Temperatur  $\vartheta_2$  eine Oxidschicht aufreißt. Werden Infra-  
 rot-Strahlungssensoren zur Temperaturmessung verwendet,  
 so ändert sich durch das Aufreißen der Oxidschicht die  
 Strahlungsintensität trotz weiter ansteigender Tempera-  
 15 tur. Die von dem Infrarot-Strahlungssensor gemessene  
 Strahlungsintensität folgt dem gestrichelten Kurvenab-  
 schnitt 8. Es könnte somit auftreten, daß meßtechnisch  
 das Temperaturintervall  $\Delta\vartheta$  der Fig. 1 nicht erfaßt wird.

Hierfür ist vorgesehen, daß bei einer vorbestimmten Zeit-  
 20 dauer  $t_3 - t_3'$  nach Erreichen der Liquidus-Temperatur  $\vartheta_2$ ,  
 nachdem also die Temperatur sich um einen Wert  $\Delta\vartheta_1$  erhöht  
 hat, die zu diesem Zeitpunkt  $t_3'$  vorhandene aktuelle Tem-  
 peratur  $\vartheta_4$  gespeichert wird. Reißt die Oxidschicht nicht  
 auf, so läuft der Vorgang wie im Zusammenhang mit Fig. 1  
 25 beschrieben ab, d. h. es tritt eine weitere Temperatur-  
 erhöhung  $\Delta\vartheta_2$  auf, bis bei der Temperatur  $\vartheta_3$  die Gießtem-  
 peratur erreicht ist. Reißt dagegen die Oxidschicht auf,  
 verläuft die Temperatur längs der gestrichelten Linie 8.  
 Um diese beiden Verläufe unterscheiden zu können, wird  
 30 nun laufend überwacht, ob nach dem ersten Erreichen der  
 gespeicherten Temperatur  $\vartheta_4$  zum Zeitpunkt  $t_3'$  diese Tem-  
 peratur (scheinbar) wieder unterschritten wird. Ist dies  
 der Fall, wird abgewartet, bis die scheinbare Temperatur  
 von dem Wert  $\vartheta_4$  ausgehend um einen fest vorgegebenen Be-  
 35 trag  $\Delta\vartheta_{2/2}$  weiter abgesunken ist und zum Zeitpunkt  $t_4'$  der  
 Temperaturwert  $\vartheta_5$  erreicht ist. Zu diesem Zeitpunkt wird

1 dann die scheinbare Gießtemperatur  $\vartheta_5$  erkannt, die Heiz-  
leistung auf den verringerten Wert H2 umgeschaltet und  
das Gießsignal erzeugt, worauf wieder ein Gießintervall  
5 ( $t_4' - t_5$ ) vorgegeben wird.

Der Wert  $\Delta\vartheta_{2/2}$ , um den die Temperatur von dem Wert  $\vartheta_4$  bis  
zur scheinbaren Gießtemperatur  $\vartheta_5$  abfallen darf, entspricht  
in dem dargestellten Ausführungsbeispiel gerade der Hälfte  
10 der Temperaturdifferenz  $\vartheta_2$ , um welchen sich bei vorhande-  
ner Oxidschicht die Temperatur ausgehend von  $\vartheta_4$  erhöht,  
bis die Gießtemperatur  $\vartheta_3$  erreicht ist. Es sei jedoch aus-  
drücklich darauf hingewiesen, daß der Wert von  $\Delta\vartheta_{2/2}$  rein  
zufällig gerade der Hälfte der Temperaturdifferenz  $\vartheta_2$  ent-  
spricht. Er kann auch größer oder kleiner sein. Der jeweils  
15 optimale Wert hierfür wird durch Versuche empirisch ermit-  
telt.

Die übrigen Kurvenabschnitte der Fig. 2 entsprechen denen  
der Fig. 1, so daß eine weitere Erläuterung nicht erfor-  
20 derlich ist.

Fig. 3 zeigt deutlicher das Strecken des Schmelzinter-  
valles. Wird nämlich die Temperatur mit voller Heizlei-  
stung H1 gemäß der Kurve 9 hochgefahren, so ist bei man-  
25 chen Stoffen oder Legierungen kein ausgeprägter horizonta-  
ler Abschnitt der Temperaturkurve erkennbar. Wie Kurve 9  
zeigt, verläuft die Temperatur zwischen Solidus-Tempera-  
tur  $\vartheta_S$  und Liquidus-Temperatur  $\vartheta_L$  zwischen den Zeitpunk-  
ten  $t_1$  und  $t_3$  mit deutlicher Steigung, wobei das Zeitin-  
30 tervall zum Durchlaufen dieser Temperaturdifferenz ver-  
hältnismäßig kurz ist. Wie oben erwähnt, kann es durch in-  
homogene Temperaturverteilung bzw. ungleichförmiges Er-  
wärmen aufgrund des Skin-Effektes durchaus vorkommen, daß  
noch nicht alle Legierungsbestandteile, insbesondere im  
35 Inneren des Schmelzgutes schon in der flüssigen Phase  
sind, obwohl der Strahlungssensor, der ja im wesentlichen

1 die Oberflächentemperatur mißt, bereits die Liquidus-  
Temperatur anzeigt. Durch Umschalten der Heizleistung kann  
dieser schädliche Effekt ausgeschaltet werden. Im Zusammen-  
hang mit Fig. 1 und 2 wurde die Umschaltung von voller  
5 Heizleistung H1 (beispielsweise mit 220 V) auf verringerte  
Heizleistung (von beispielsweise 160 V) besprochen. In  
Kurve 10 der Fig. 3 kommen drei verschiedene Heizleistun-  
gen H1 (z. B. 220 V), H2 (z. B. 200 V) und H3 (z. B. 160 V)  
zur Anwendung. Hat die Temperaturkurve zum Zeitpunkt  $t_1$   
10 bei voller Heizleistung H<sub>1</sub> eine sich verlangsamende Stei-  
gung, d. h. unterschreitet der Differentialquotient  $d\vartheta/dt$   
einen vorgegebenen positiven Schwellwert zum Zeitpunkt  $t_1$ ,  
so wird zunächst die Heizleistung auf die kleinere Stufe  
H2 umgeschaltet. Die Temperaturkurve läuft nun flacher in  
15 den horizontalen Abschnitt ein, der zum Zeitpunkt  $t_1'$  bei  
der Solidus-Temperatur  $\vartheta_s$  beginnt. Sodann wird auf eine  
noch kleinere Heizleistung H3 umgeschaltet, so daß der  
günstige horizontale Temperaturkurvenabschnitt durchlaufen  
wird. Die Solidus-Temperatur wird dadurch erkannt, daß der  
20 Differentialquotient  $d\vartheta/dt$  einen zweiten kleineren Schwell-  
wert, beispielsweise Null erreicht. Beginnt nach Durchlau-  
fen des horizontalen Abschnittes zum Zeitpunkt  $t_2$  die  
Temperaturkurve wieder zu steigen, so läuft der Vorgang wie  
im Zusammenhang mit Fig. 1 und 2 beschrieben ab, d. h.  
25 zum Zeitpunkt  $t_3$  wird wieder auf volle Heizleistung H1 umge-  
schaltet.

Im folgenden wird auf Fig. 4 Bezug genommen. Dort ist ein  
Gießgerät gezeigt, bei dem die vorliegende Erfindung zur  
30 Anwendung kommen kann. Dieses Gießgerät entspricht im we-  
sentlichen dem Gießgerät der DE-OS 23 05 418.5  
mit Ausnahme der für die Durchführung des  
Verfahrens nach der vorliegenden Erfindung notwendigen  
Teile. Fig. 4 zeigt im wesentlichen einen Vertikalschnitt  
35 durch ein Gießgerät. Ein Rahmentragwerk 11 ist im wesent-  
lichen kastenförmig aufgebaut, an seiner Vorderseite zum



- 1 Ein- und Ausfahren von Schubteilen 12 und 13 jedoch offen.  
Der obere Teil des Rahmentragwerks 11 besitzt einen ver-  
stärkten Querriegel 34, der ein nach unten gerichtetes  
U-förmiges Profil aufweist. Die horizontalen Stoßflächen  
5 dieses Profils liegen der Oberseite des oberen Schubteils  
12 gegenüber, das ein im wesentlichen H-förmiges Quer-  
schnittsprofil besitzt. In dem Querbalken dieses H-förmi-  
gen Profils ist eine Ausnehmung vorgesehen, in welche  
ein Tiegel 24 einsetzbar ist. Rings um etwa die untere  
10 Hälfte des Tiegels 24 ist eine Induktionsspule 31 in ge-  
wissem Abstand zu dem Tiegel 24 angeordnet und sorgt in  
Verbindung mit einem Hochfrequenzgenerator (nicht darge-  
stellt) für eine Aufheizung des Schmelzgutes in dem Tie-  
gel 24. Der Tiegel 24 verläuft von oben nach unten ko-  
15 nisch spitz zulaufend und hat im Bereich seines oberen  
Endes eine umlaufende Schulter bzw. einen Bund, der auf  
einem Haltering 44 zur Auflage kommt. Der Haltering 44  
ist an der Oberseite des Querbalkens des H-förmigen  
Querschnittsprofils gelagert. Das obere Schubteil 12 ist  
20 in seitlichen Führungsschienen 21 gegenüber dem Tragwerk  
11 verschiebbar. Die Lagerung erfolgt über Kugellager 29,  
wobei diese ein Spiel aufweisen, das eine vertikale Ver-  
schiebung des Schubteiles 12 erlaubt. Das Spiel ist hier-  
bei so groß, daß das Schubteil 12 so weit in Richtung auf  
25 den oberen Querriegel 34 verschoben werden kann, daß die  
einander zugeordneten Stoßflächen des Schubteiles 12 und  
des Querriegels 34 miteinander in feste Berührung bring-  
bar sind, wobei die in einer Nut an der Oberseite des  
Schubteils 12 vorgesehene Dichtung 35 für einen mit Über-  
30 oder Unterdruck belastbaren dichten Abschluß zwischen dem  
oberen Querriegel 34 und dem oberen Schubteil 12 sorgt. In  
der Wandung des Schubteiles 12 können eine oder mehrere  
Kühlmittleitungen 38 vorgesehen sein, durch welche Kühl-  
mittel, beispielsweise Wasser, geleitet werden.
- 35 Unterhalb des Schubteiles 12 ist ein unteres Schubteil 13

1 angeordnet, das ebenfalls in kugelgelagerten Führungs-  
schienen 28 verschiebbar ist. Auch hier hat das Kugella-  
ger 29 ein Spiel, das eine vertikale Verschiebung des  
Schubteiles 13 erlaubt. Das Schubteil 13 besitzt ein im  
5 wesentlichen U-förmiges Querschnittsprofil, das in sei-  
nem Innenraum die Aufnahme einer Gußmuffel 25 ermöglicht.  
Die Oberseite des Schubteiles 13 bildet eine Stoßfläche,  
die mit der Unterseite des oberen Schubteiles 12 in Be-  
rührung bringbar ist. Auch hier ist in einer Nut an der  
10 Stoßfläche des unteren Schubteiles 13 eine Dichtung 36  
eingelassen. Das untere Schubteil 13 ist durch eine Kol-  
ben-Zylinder-Anordnung (Zylinder 32 und Kolben 33), die  
an einem unteren Querriegel 58 an der Unterseite des Rah-  
mentragwerks 10 abgestützt ist, vertikal verschiebbar.  
15 Wird das untere Schubteil 13 durch die Kolben-Zylinder-  
Anordnung 32, 33 angehoben, so drückt es gegen das obere  
Schubteil 12, wodurch dieses ebenfalls angehoben wird,  
bis es an dem oberen Querriegel zum Anschlag kommt. Der  
obere Querriegel 34, das obere Schubteil 12 und das unte-  
20 re Schubteil 13 bilden zusammen mit den Dichtungen 35 und  
36 eine Kammer 56, die evakuierbar oder mit Druckgas be-  
aufschlagbar ist. Diese Kammer 56 nimmt also den Tiegel  
24 und die Gußmuffel 25 auf und bildet somit einen  
Schmelz- und Gießraum. Im oberen Querriegel sind Öffnungen  
25 37 und 57 vorgesehen, über welche die Kammer 56 mit einer  
Vakuumpumpe oder einer Druckgasquelle verbindbar ist.

Zusätzlich zu der aus der Kolben-Zylinder-Anordnung 32,  
33 gebildeten Hubeinrichtung, die zum Verschließen des  
30 Gießgerätes dient, ist eine weitere, aus Kolben-Zylinder-  
Anordnung 39, 40 gebildete Hubeinrichtung vorgesehen, die  
zum Anheben und Absenken der Gußmuffel 25 und zum gleich-  
zeitigen Öffnen bzw. Schließen des Tiegels 24 dient. Die  
Kolben-Zylinder-Anordnung 39, 40 ist in einer Ausnehmung  
35 41 im unteren Bereich des Schubteiles 13 angeordnet. Die  
Kolbenstange 39 ragt hierbei durch die Bodenwandung des

1 Schubteiles 13 hindurch und ist an einer Tragplatte 47  
befestigt, welche die Gußmuffel trägt. Die Gußmuffel ist  
somit zwischen zwei Grenzstellungen verschiebbar, wobei  
die obere, gestrichelt dargestellte Grenzstellung für den  
5 Gießvorgang verwendet wird. Hierbei kommt dann ein Ein-  
fülltrichter 27 der Gußmuffel 25 dicht unterhalb der Aus-  
gußöffnung des Tiegels 24 zu liegen. Die Tragplatte 47  
ist nach einer Seite (rechts in Fig. 4) zu einem Verbin-  
dungsarm verlängert, an dem ein vertikaler Hubstößel 46  
10 befestigt ist. Durch Anheben der Gußmuffel 25 wird somit  
auch der Hubstößel 46 angehoben. Dieser Hubstößel 46  
fluchtet bei geschlossenen Schubteilen mit einem weiteren  
Hubstößel 45', der in einer Öffnung im Querteil des H-  
förmigen Querschnittprofils des Schubteiles 12 geführt  
15 ist und in einen horizontalen Hubarm 45 mündet, der in  
einer Bohrung eines der Tiegelteile befestigt ist. Die  
einander zugewandten Enden der beiden Hubstößel 45' und 46  
liegen in der unteren Grenzstellung der Kolben-Zylinder-  
Anordnung 39, 40 in einem Abstand zueinander. Hierdurch  
20 wird ein toter Gang geschaffen, der dafür sorgt, daß erst  
kurz vor Erreichen der oberen Grenzstellung der Gußmuffel  
25 die beiden Hubstößel 45' und 46 miteinander in Berüh-  
rung kommen und dann bei dem letzten Teil der Aufwärtsbe-  
wegung der Gußmuffel 25 für ein Öffnen des Tiegels 24 sor-  
25 gen. Oberhalb des Tiegels 24 besitzt der Querriegel 34  
eine Öffnung, die über ein Schauglas 48 verschlossen ist.  
Das Schauglas 48 ist mittels eines Halteringes 42 befe-  
stigt. Oberhalb des Schauglases ist ein Temperaturfühler  
in Form eines Infrarot-Strahlungssensors 60 angebracht.  
30 Mittels einer Halterung 61 sind der Sensor 60 sowie seine  
Zuleitungen 62 an dem oberen Querriegel 34 gehalten. Die  
Zuleitungen 62 führen zu einem Steuergerät 63, welches  
auch beispielsweise über Magnetventile die Kolben-Zylinder-  
Anordnung 39, 40, welche den Gießvorgang auslöst, steuert.  
35 Ist also gemäß dem oben beschriebenen Verfahren die opti-  
male Gießtemperatur erreicht, so kann der Gießvorgang hier  
automatisch ablaufen.

- 1 Fig. 5 zeigt eine andere Gießvorrichtung, bei der die  
Erfindung zur Anwendung kommen kann. Hier sind Tiegel 24  
und Heizeinrichtung 31 an einem Dreharm 65 befestigt,  
der ein Gegengewicht 66 aufweist und um eine vertikale  
5 Achse 67 drehbar ist. Hier handelt es sich um eine  
Schleudergußvorrichtung mit einem Schleuderraum 68, der  
von oben her zugänglich ist, da sein Gehäusedeckel 70  
über ein Scharnier 69 aufklappbar ist. Mit 71 ist eine  
Aufnahme für eine Gießform bezeichnet. Ein Steuerpult 72  
10 ist über eine Trennwand 73 von dem Schleuderraum 68 ge-  
trennt.

- Fig. 6 zeigt einen Ausschnitt des Steuerpultes der  
Vorrichtung nach der Erfindung. Es sind verschiedene  
15 Steuerungsfunktionsschalter bzw. -taster vorgesehen. Mittels  
eines Schalters 74 können zunächst zwei Betriebsarten  
ausgewählt werden. Zum einen die Betriebsart, bei der der  
Gießvorgang bei Erreichen einer am Regelknopf 81 vorein-  
gestellten Gießtemperatur ausgelöst wird, sowie die Be-  
20 triebsart, bei der die Gießtemperatur nach der Erfindung  
automatisch ermittelt wird. Mit einem Taster 75 wird der  
im Zusammenhang mit Fig. 1 beschriebene Vorgang des Vor-  
glühens gestartet. Mit einem Taster 76 wird der im Zusam-  
menhang mit Fig. 1 beschriebene Vorgang ohne Vorglühen  
25 (Kurvenabschnitt 4) gestartet. Über den Taster 77 kann  
manuell der Gießvorgang ausgelöst werden. Mit einem Taster  
78 kann die Heizung jederzeit, auch während des automati-  
schen Ablaufes, ausgeschaltet werden.
- 30 Mit einem Schalter 79 können verschiedene Heizstufen für  
die Heizleistung bei Erreichen der Gießtemperatur vorge-  
wählt werden. Über ein Stellorgan 80 kann die Temperatur-  
differenz  $\Delta \vartheta$  gemäß Fig. 3 vorgewählt werden.
- 35 Sodann sind zwei Temperaturkurven 82 und 83 vorgesehen  
längs denen Leuchtdioden 84 bis 91 angeordnet sind. Diese

- 1 Leuchtdioden zeigen der Bedienperson an, in welchem Kurvenabschnitt sich die Temperatur jeweils befindet. Wird über den Schalter 74 die erste Betriebsart ausgewählt, so läuft die Temperatur längs der Kurve 82, worauf in
- 5 Abhängigkeit von der jeweils erreichten Temperatur die entsprechende Diode 84 aufleuchtet, bis bei Erreichen der am Regelknopf 81 voreingestellten Endtemperatur die letzte Diode leuchtet.
- Wird die zweite Betriebsart mit automatischer Ermittlung
- 10 der optimalen Gießtemperatur ausgewählt, so fährt die Temperatur zunächst auch längs der Kurve 82. Bei Erreichen der Solidus-Temperatur  $\gamma_5$  leuchtet die Diode 85. Befindet man sich einige Zeit nach Erreichen dieser Temperatur immer noch im Schmelzintervall, so leuchtet die
- 15 Diode 86. Beginnt die Temperatur am Ende des Schmelzintervalles wieder zu steigen, so leuchtet die Diode 87 bzw. ab Erreichen der Temperatur  $\gamma_2$  die Diode 88. Ist die Gießtemperatur  $\gamma_3$  erreicht, so leuchtet die Diode 89 hier mit grüner Farbe. Zum Zeitpunkt  $t_5$ , d. h. nach Ablauf
- 20 des Gießintervalles, leuchtet die rote Diode 90. Sobald die Diode 89 leuchtet, muß die Bedienperson daher den Taster 77 drücken. Leuchtet dagegen die Diode 90, so erkennt er, daß er den Gießvorgang nicht mehr auslösen darf.
- 25 Treten während des automatischen Ablaufes Betriebsstörungen auf, steigt insbesondere nach Durchlaufen des Schmelzintervalles die Temperatur nicht deutlich an, so wird nach Ablauf einer vorgegebenen Zeitdauer durch das Leuchten der
- 30 Diode 91 angezeigt, daß die Maximalzeit überschritten ist, ohne daß die Gießtemperatur erreicht wurde. Der Schmelzvorgang ist dann abubrechen.

Fig. 7 zeigt ein Blockschaltbild der Steuereinheit 63.

35 Kernstück der Steuereinheit ist ein Mikroprozessor 92, der über einen Transformator 93 mit der Netzspannung ver-

1 sorgt wird. Einer der Ausgänge 95 oder 96 des Mikroprozessor schaltet ein Relais, welches über den Schalter 79  
die richtige Heizleistung nach Erreichen der Gießtempera-  
tur ansteuert. Der Mikroprozessor besitzt mehrere Eingän-  
5 ge 94, die mit den Schaltern bzw. Tastern gemäß Fig. 6  
verbunden sind, wie mit dem Bezugszeichen 74 bis 78, die  
sich auf die Schalter bzw. Taster der Fig. 6 beziehen,  
angedeutet.

10 Weiterhin besitzt der Mikroprozessor mehrere Ausgänge  
95 und 96, die einerseits die Leuchtdioden 84 bis 91 an-  
steuern und andererseits die verschiedenen Leistungsstufen  
für die Heizleistung umschalten, die Heizleistung ganz ab-  
schalten und/oder Betätigungsorgane zum Auslösen des auto-  
15 matischen Gießens ansteuern.

Als weiteren Eingang für den Mikroprozessor 92 ist ein  
Analog/Digital-Wandler 97 vorgesehen, dessen Eingängen  
folgende Signale zugeführt werden: zunächst das Ausgangs-  
20 signal des Infrarot-Strahlungssensors 60, welches ggf.  
über einen Verstärker 99 noch verstärkt wird; sodann ein  
Signal eines Potentiometers 80 (vgl. auch Fig. 6), mit  
welchem die Temperaturdifferenz  $\Delta T$  gemäß Fig. 1 vorein-  
gestellt wird bzw. genauer ein vorgegebener Wert  $T_1$  für  
25 das Ausgangssignal des Sensors 60, wobei dieses Signal  
entsprechend der Strahlungs-Strom- bzw. Spannungscharak-  
teristik des Sensors dem Wert  $\Delta T$  entspricht. Schließlich  
kann auch über ein Potentiometer 98, welches dem Regel-  
knopf 81 entspricht, bei der Betriebsart gemäß Kurve 82  
30 der Fig. 6 der Absolutwert der Gießtemperatur eingestellt  
werden.

Der Mikroprozessor 92 wertet das analog/digital-gewandelte  
Teil des Sensors 90 laufend aus, bildet den Differential-  
35 quotienten bzw. genauer den Differenzenquotienten zur Er-  
mittlung der Steigung der Temperaturkurve, führt die

1 beschriebenen Vergleichsoperationen aus, errechnet ggf. die  
beschriebenen Korrekturwerte und erzeugt die verschiedenen  
Steuersignale an seinen Ausgängen. Hierzu enthält der Mikro-  
prozessor - wie üblich - Recheneinheiten, Datenspeicher,  
5 Programmspeicher sowie bei den Blöcken für die Ausgänge 95  
und 96 die entsprechenden Treiberschaltungen. Nach den oben  
angegebenen Erläuterungen ist es einem Fachmann ohne weite-  
res möglich, den Mikroprozessor so zu programmieren, daß er  
die beschriebenen Verfahrensschritte ausführt.

10 Fig. 8 zeigt Temperaturverläufe von alten und neuen Tiegeln,  
die nach der Erfindung automatisch unterschieden werden  
können. Üblicherweise werden Legierungen in Keramiktiegeln  
geschmolzen, während Gold im Kohletiegel geschmolzen wird,  
15 der in einen Keramiktiegel eingesetzt ist. Kohletiegel zei-  
gen nun bei gleicher Temperatur unterschiedliche Strahlungs-  
intensitäten, wobei neue, unverbrauchte Tiegel eine geringe-  
re Strahlungsintensität (dunklere Strahlung) aufweisen als  
mehrfach benutzte, ältere Tiegel. Bei Temperaturmessung  
20 mittels Infrarot-Strahlungsdetektor würde dies eine Verfäls-  
chung des Meßergebnisses mit sich bringen.

Zur Vermeidung dieses Fehlers wird während der ersten Auf-  
heizphase, d. h. vor Erreichen der Liquidus-Temperatur die  
25 Steigung der Kurve ermittelt. Im einzelnen wird eine vor-  
gegebene Zeitdauer nach dem Einschalten der vollen Heizlei-  
stung, d. h. im Beispiel der Fig. 8 zum Zeitpunkt  $t_7$  die  
Steigung der Kurve durch Bildung des Differentialquotienten  
 $d\vartheta/dt$  (in Digitaltechnik des Differenzenquotien-  
30 ten) festgestellt. Dieser Wert wird mit einem vorgegebenen  
Schwellwert verglichen. Liegt der ermittelte Steigungswert  
unter dem Schwellwert, so liegt ein neuer Tiegel vor, wäh-  
rend umgekehrt ein alter Tiegel erkannt wird. Versuchsmes-  
sungen haben nun ergeben, daß in dem interessierenden  
35 Temperaturbereich für die Gießtemperatur (z. B. 1.500 °C)  
das Ausgangssignal eines Infrarot-Strahlungssensors sich um

1 einen relativ konstanten Wert  $\Delta T$  bei alten und neuen  
Tiegeln unterscheidet. Durch Addition bzw. Subtraktion  
dieses Wertes  $\Delta T$  können die beiden Kurven der Fig. 8  
so transformiert werden, daß für beide Fälle eine ein-  
5 zige, korrigierte Kurve verwendet werden kann. Wählt  
man die Kurve für den alten Tiegel als maßgebliche Kur-  
ve und legt man dementsprechend die Gießtemperatur auf  
den Wert  $\vartheta_g 2$ , so muß man, wenn das Vorliegen eines neuen  
Tiegels - wie oben beschrieben - erkannt wurde, ledig-  
10 lich zu dem Ausgangssignal des Infrarotsensors den Wert  
 $\Delta T$  hinzuaddieren. Erreicht das Ausgangssignal des In-  
frarot-Strahlungssensors den Wert  $\vartheta_g 1$ , so wird durch die  
Addition von  $\Delta T$  dann dem Mikroprozessor der Wert  $\vartheta_g 2 =$   
 $\vartheta_g 1 + \Delta T$  signalisiert, der dann als der voreingestellte  
15 Wert für die Gießtemperatur erkannt wird.

Umgekehrt könnte man natürlich auch die Kurve für den  
neuen Tiegel als Bezugskurve heranziehen. In diesem  
Falle müßte beim Erkennen eines alten Tiegels von dem  
20 Ausgangssignal des Sensors der Wert  $\Delta T$  subtrahiert wer-  
den, wobei als Schwellwert für das Erkennen der Gießtem-  
peratur dann natürlich der Wert  $\vartheta_g 1$  gespeichert werden  
müßte.

25 Als günstige Werte für einzelne oben beschriebene Größen  
haben sich folgende Werte erwiesen:  
Für die Beheizung einer Induktionsspule werden bei der  
größten Heizleistung H1 220 V verwendet. Für die Heiz-  
leistung H2 der Fig. 3 (sanftes Einlaufen in das Schmelz-  
30 intervall) haben sich 200 bzw. 180 V als günstig erwiesen.  
Für die Heizleistung H3 während des Schmelzintervalles  
sowie auch während des Gießintervalles (Heizleistung H2  
der Fig. 1) werden 160 V empfohlen.

35 Als Temperaturdifferenz  $\Delta \vartheta$  (in Fig. 1) für die Überhitzung  
des Schmelzgutes über die Liquidus-Temperatur hinaus sind  
100 °C zweckmäßig.



1 Die oben beispielhaft angegebenen Spannungswerte beziehen sich auf einen Vorschalttransformator zur Ansteuerung des Hochspannungstransformators für die Hochfrequenzheizung (HF-Generator).

5 Fig. 9 zeigt eine Temperaturkurve (Temperatur über der Zeit) ähnlich der links in Fig. 3 dargestellten Kurve. Im Unterschied dazu ist in Fig. 9 die Liquidus-Temperatur  $\vartheta_s$  dann erreicht bzw. sogar schon überschritten, wenn die Kurve eine Abflachung aufweist, wie z.B. bei Goldlegierungen. Nach einer Variante der Erfindung wird daher das Erreichen der Liquidus-Tempe-

10 ratur ( $\vartheta_l$ ) dadurch bestimmt, daß der Differentialquotient  $d\vartheta/dt$  kleiner als ein vorgegebener Sollwert ist. Der Zeitpunkt, zu welchem die Liquidus-Temperatur erreicht wird, ist hier mit  $t_l$  bezeichnet. Es wird nun der Gießzeitpunkt  $t_g$  dadurch bestimmt, daß ab dem Zeitpunkt  $t_l$  für eine vorbestimmte Zeitdauer  $\Delta t$ , die beispielsweise bei einer bestimmten Legierung bei 22 s liegen kann, mit konstanter Heizleistung weitergeheizt wird und dann nach Ablauf der Zeit  $\Delta t$  das Gießbereitschaftssignal erzeugt oder der Gießvorgang automatisch eingeleitet wird. Bezugsgröße ist also der Zeitpunkt des Erreichens der Liquidus-Temperatur und nicht der Beginn des Aufheizens.

25 Nach einer anderen Variante der Erfindung kann statt einer vorgegebenen Zeitdauer ein Temperaturkriterium verwendet werden. Nach Erreichen der Liquidus-Temperatur  $\vartheta_l$  wird so lange mit konstanter Heizleistung weitergeheizt, bis eine Temperaturerhöhung um einen voreingestellten Wert  $\Delta\vartheta$  erreicht ist, womit die Gießtemperatur  $\vartheta_g$  festgelegt ist.

30 Die Werte von  $\Delta t$  bzw.  $\Delta\vartheta$  werden anfänglich vom Benutzer vorgegeben, beispielsweise durch Eingabe über eine Tastatur. Es handelt sich also zunächst um empirische oder ge-

- 1 fühlsmäßig vorgegebene Werte. Diese können durchaus zu günstigen, aber auch zu ungünstigen Gießergebnissen führen.

- 5 Nach einer Weiterbildung der Erfindung werden die Gußwerte  $\gamma_g$ ,  $t_g$ ,  $\Delta\gamma$  bzw.  $\Delta t$  gespeichert. Weiterhin werden vom Benutzer Werte von weiteren Parametern, beispielsweise der Art der zu schmelzenden Legierung eingegeben. Erweist sich der jeweils zuletzt durchgeführte Gießvorgang als günstig, so läßt der Benutzer die erwähnten gespeicherten Werte im  
10 Speicher. Erweisen sich diese Werte als ungünstig, so löscht er sie. Nach mehreren solcher "Durchläufe" hat das Gerät nur noch günstige Werte, die zu optimalen Gießergebnissen führen, gespeichert. Bei zukünftigen Schmelz- und Gießvorgängen müssen nun diese Gießwerte bzw. die Werte  $\Delta\gamma$   
15 oder  $\Delta t$  nicht mehr extern eingegeben werden, sondern können aus dem Speicher abgerufen werden. Der Benutzer muß also nur noch gewisse Parameter, die weiter unten noch näher erläutert werden, eingeben, woraus dann die jeweils optimalen zugeordneten Werte aus dem Speicher abgerufen  
20 und für die Steuerung bzw. Bestimmung des Gießzeitpunktes verwendet werden.

- Nach einer Weiterbildung der Erfindung wird bei jedem Schmelz- und Gießvorgang die gesamte Temperaturkurve ge-  
25 speichert, beispielsweise in Form von Wertepaaren der Temperatur und der Zeit. Erweist sich eine gespeicherte Temperaturkurve nach Auswertung des Gießergebnisses als günstig, so bleibt sie gespeichert; anderenfalls wird sie gelöscht. Nach mehreren Durchläufen wird dann der Speicher  
30 eine Vielzahl von charakteristischen Temperaturkurven enthalten. Bei darauffolgenden Gieß- und Schmelzvorgängen wird die sich dann ergebende Kurve mit den gespeicherten Kurvenverläufen verglichen. Dies erfolgt bereits kontinuierlich während des Aufheizens der zu schmelzenden Probe.  
35 Statt eines kontinuierlichen Vergleichs kann der Vergleich natürlich auch abschnittsweise vorgenommen werden. Nach

1 einiger Zeit, spätestens jedoch bei Erreichen des  
Liquiduspunktes (Zeitpunkt  $t_1$ ), wird - vorausgesetzt,  
es sind genügend viele Kurvenverläufe gespeichert - eine  
Übereinstimmung (innerhalb vorgegebener Toleranzen) zwi-  
5 schen der gemessenen und dieser eingespeicherten Kurve  
festgestellt werden. Ab diesem Moment erfolgt die weitere  
Steuerung und insbesondere die Bestimmung von Gießzeit-  
punkt bzw. Gießtemperatur über die eine ausgewählte, ge-  
speicherte Kurve, die regelungstechnisch als Sollwert ver-  
10 wendet wird. Damit erhält man - ohne daß weitere Parameter  
eingegeben werden müssen - stets eindeutig reproduzierbare  
Gießergebnisse.

15 Wie bereits eingangs erwähnt, beeinflusst die Menge des zu  
schmelzenden Gutes das Gießergebnis bzw. die Werte von  $\Delta T$   
oder  $\Delta t$ . Nach einer Weiterbildung der Erfindung, die nach-  
folgend unter Bezugnahme auf Fig. 10 erläutert wird, wird  
diese Menge indirekt dadurch bestimmt, daß der von der In-  
duktionsspule aufgenommene Strom (bei konstanter Spannung)  
20 oder allgemeiner ausgedrückt, daß die von der Induktions-  
spule aufgenommene und damit in dem Schmelzgut induzierte  
Leistung gemessen wird. Bei kleinerer Menge ist - bei kon-  
stanter Versorgungsspannung - die Leistung kleiner als bei  
größerer Menge. Dies ist durch die Kurven  $N_1$  bis  $N_3$  der  
25 Fig. 10 dargestellt, in welcher der Verlauf der elektri-  
schen Leistung über der Zeit dargestellt ist. Der relativ  
erprobte Leistungsabfall der Kurven wird durch den eingangs  
beschriebenen Effekt des Zusammenfallens der ursprünglich  
würfelförmigen Gußstücke bei Erreichen der Liquidus-Tempe-  
30 ratur erklärt. Wie in Fig. 10 angedeutet, kann sich auch  
der Zeitpunkt des Erreichens der Liquidus-Temperatur bei  
unterschiedlichen Mengen verschieben. Die Aussage der  
Fig. 10 diesbezüglich ist jedoch rein qualitativ und hängt  
u. a. auch von der Anordnung der Gußwürfel in dem Tiegel  
35 ab. Nach Erreichen der Liquidus-Temperatur verlaufen die  
Leistungskurven wieder horizontal. Aus der absoluten Höhe

1 der jeweils aufgenommenen Leistung lassen sich Rück-  
schlüsse über die Menge ziehen. Hieraus werden dann  
Korrekturwerte für  $\Delta \dot{V}$  bzw.  $\Delta t$  ermittelt. Beispiels-  
5 weise wird bei Vorliegen einer großen Menge (Kurve  $N_2$  der  
Fig. 10) und der Verwendung des Auslösekriteriums  $\Delta t$  der  
vorgegebene bzw. gespeicherte Wert um einen weiteren Be-  
trag verlängert. Umgekehrt wird bei kleinerer Menge  
(Kurve  $N_3$ ) dieser Wert verringert. Gleiches gilt in ana-  
10 loger Weise für das Auslösekriterium  $\Delta \dot{V}$ .

10 Aus Fig. 10 ist zu erkennen, daß bereits bei Beginn der  
Aufheizung präzise Meßwerte über die aufgenommene Lei-  
stung vorliegen. Es ist daher auch möglich, nach Vorlie-  
gen dieser Leistungsmessung einen Korrekturfaktor zu er-  
15 mitteln, mit welchem die gemessenen Temperaturwerte multi-  
pliziert werden. Die so korrigierten Temperaturwerte kön-  
nen dann - gemäß obigem Ausführungsbeispiel - mit den ge-  
speicherten Kurven verglichen werden. Damit braucht man  
nicht für jede mögliche Menge von Gußwürfeln bzw. Gieß-  
20 material eine eigene Kurve speichern. Es genügt vielmehr,  
für jedes Material nur eine geringe Anzahl von charakte-  
ristischen Kurven zu speichern, die dann mit den um den  
"Mengenfaktor" korrigierten Werten verglichen werden.  
Hierdurch wird Speicherplatz eingespart.

25 Fig. 11 zeigt das "Schalttableau" einer anderen Variante der Erfin-  
dung. Die verwendete Schaltung entspricht im Prinzip der der  
Fig. 7. Im Unterschied zur Version der Fig. 6 ist jetzt  
ein "Dialogbetrieb" möglich. Das Schalttableau 100 be-  
30 sitzt ein übliches Tastenfeld 101 mit zehn Tasten für  
die Ziffern 0 - 9, sowie einer Lösch Taste C und einer  
Eingabetaste, die mit der Bezeichnung "Set" bezeichnet  
ist. Über ein Display 102, das beispielsweise aus einer  
LCD- oder einer LED-Anzeige besteht, werden - vom Mikro-  
35 prozessor 92 gesteuert - Eingabewerte abgefragt oder Be-  
dienschritte angefordert. Wird der Hauptschalter 103

1 eingeschaltet, so startet der Mikroprozessor 92 zunächst  
ein Prüfprogramm. Zunächst wird geprüft, ob das Gießgerät  
an Druckluft angeschlossen ist. Hierzu wird ein (nicht  
5 dargestellter) Drucksensor abgefragt. Zeigt dessen Ausgang  
an, daß keine Druckluft in ausreichender Höhe vorhanden  
ist, wird auf dem Display 102 angezeigt, daß Druckluft  
fehlt, beispielsweise durch die Anzeige "Druckluft". Der  
Bediener kann dann die erforderlichen Schritte einleiten.  
10 Ergibt - gegebenenfalls nach entsprechendem Eingriff des  
Bedieners - die Prüfung, daß Druckluft vorhanden ist, so  
wird in ähnlicher Weise geprüft, ob Kühlwasser vorhanden  
ist und ob das Gerät geschlossen ist, d. h. die "Schubladen"  
geschlossen sind. Auch hier erfolgt eine entsprechende An-  
15 zeige, und der nächste Schritt wird erst nach zufriedenstel-  
lender Prüfung des jeweils vorhergehenden Schrittes durch-  
geführt. Sodann fordert der Mikroprozessor 92 bestimmte,  
vom Bediener einzugebende Parameter an. Als erstes fragt er  
über das Display 102 die Eingabe einer hier einstelligen  
20 Nummer für das "Grundprogramm" ab. Es sind mehrere Grund-  
programme für verschiedene Legierungen vorgegeben, bei-  
spielsweise für Kobalt-Chrom, Nickel-Chrom, Edelmetall-  
legierungen etc. Jedem dieser Grundprogramme ist eine vom  
Benutzer über die Tastatur 101 einzugebende Ziffer zuge-  
ordnet. Die Eingabe wird durch Drücken der Taste "Set" be-  
25 endet. Nach Aufruf eines Grundprogrammes werden weitere  
Parameter abgefragt. So wird abgefragt, ob es sich um eine  
Legierung mit oder ohne Oxidschicht handelt (vgl. Fig. 2);  
ob es sich um eine Schmelze handelt, bei der die Oxidschicht  
aufreißt. Weiterhin wird je nach "Auslösekriterium für das  
30 Gießen" die Zeitdauer  $\Delta t$  (Fig. 9) oder die Temperaturüber-  
höhung  $\Delta \vartheta$  abgefragt. Schließlich wird noch die gewünschte  
Leistungsstufe für die Heizung abgefragt. Nach jeder Ab-  
frage wird der entsprechende Wert vom Benutzer über die  
Tastatur 101 eingegeben und durch Drücken der Taste "Set"  
35 eingespeichert.

- 1 Nach einer Version kann, wenn statt einer Zifferneingabe  
nur die "Set"-Taste gedrückt wird, jeweils der höchstmög-  
liche Wert für die einzelnen Parameter eingegeben werden.  
Schließlich kann abgefragt werden, ob die beim anschlie-  
5 Benden Vorgang auftretenden Kurvenverläufe gespeichert  
werden. Diese Werte werden dann bestimmten Speicherberei-  
chen zugewiesen, die über eine auf dem Display 102 er-  
scheinende "Adresse" abrufbar sind. Somit kann der Be-  
nutzer statt der Eingabe des Grundprogrammes und der  
10 einzelnen Parameter auch direkt eine mehrstellige "Grund-  
programmnummer" eingeben, die dann die unter dieser  
Adresse abgespeicherten Werte aufruft. Damit wird die  
Eingabe vereinfacht.
- 15 Nachdem nach Eingabe aller abgefragten Werte die "Set"-  
Taste gedrückt ist, startet der automatische Heizvorgang.  
Auf dem Display 102 erscheint die Anzeige "Start". Die  
Maschine wird beschickt, und nach Öffnen und anschließen-  
dem Schließen der Schublade wird abgefragt, ob vorgeglüht  
20 werden soll (vgl. Fig. 2). Hierzu blinkt eine Leuchtdiode  
104 an einem Taster 105. Nach Druck des Tasters 105 leuch-  
tet die Diode 104 dauernd. Die Induktionsheizung wird  
dann eingeschaltet, was durch Aufleuchten der Diode 112  
angezeigt wird. Das Vorglühprogramm wird dann automatisch  
25 durchgeföhren. Nach Beendigung des Vorglühens blinkt die  
Diode 104 wieder, und auf dem Display 102 erscheint das  
Kommando "Muffel einlegen". Die vorgewärmte Gußmuffel  
wird aus einem Vorheizofen geholt und in die entsprechende  
untere Schublade eingelegt. Nachdem die Schublade betätigt  
30 wurde, was über Schaltkontakte erkannt wird, erscheint auf  
dem Display 102 die Anzeige "Start Schmelzen". Die Diode  
106 auf einem Taster 107 blinkt. Durch Drücken des Tasters  
107 wird der Schmelzvorgang eingeleitet. Die Dioden 112,  
113, 114 bzw. 115 zeigen das Durchlaufen der Schmelzkurve  
35 an.

- 1    Sobald gemäß den oben beschriebenen Kriterien die Gieß-  
bereitschaft erreicht ist, wird auf dem Display 102 ange-  
zeigt: "Gießen". Die Diode 115 leuchtet, und die Diode 108  
in dem Taster 109 blinkt. Durch Drücken des Tasters 109  
5    wird der Gießvorgang ausgelöst, indem bei dem oben be-  
schriebenen Ausführungsbeispiel die beiden Tiegelhälften  
vertikal gegeneinander verschoben werden, so daß das ge-  
schmolzene Gut in die darunterliegende Gußmuffel fließen  
kann. Zu diesem Zeitpunkt ist die Diode 106 erloschen.  
10    Statt einer manuellen Auslösung des Gießens kann auch  
das Gießen automatisch ausgelöst werden. Hierzu muß vor  
Start des Programmes der Taster 111 gedrückt werden, was  
durch Leuchten der Diode 110 angezeigt wird. Ist der Guß  
beendet, so werden auf dem Display 102 alle eingangs ein-  
15    gegebenen Parameter angezeigt. Durch Drücken der Taste  
"Set" können jetzt die tatsächlich durchlaufenen und ge-  
messenen Werte für das Erkennen der Gießbereitschaft an-  
gezeigt werden.
- 20    Durch weiteres Drücken der "Set"-Taste werden abwechselnd  
die vom Benutzer eingegebenen und die tatsächlich durch-  
fahrenen Parameter wechselweise zur Anzeige gebracht, um  
einen Vergleich zu ermöglichen. Es ist nun möglich, die  
aktuell durchlaufenen Parameterwerte einzuspeichern gemäß  
25    der oben beschriebenen Speicher-Option.
- Ein Neustart ist durch Drücken der Löschtaste "C" möglich.  
Es wird dann das Grundprogramm - wie oben beschrieben -  
durchfahren.
- 30    Bei bestimmten Grundprogrammen (abhängig von der jeweili-  
gen Legierung) wird das "Vorglühen" nicht durchgeführt.  
Ebenso kann durch bestimmte Grundprogramme vorgewählt wer-  
den, ob mit oder ohne Streckung des Schmelzintervalles ge-  
35    arbeitet werden soll. Je nach gewähltem Grundprogramm wer-  
den auch die oben ausführlich beschriebenen Gieß-Auslöse-  
kriterien abgerufen.

1 Fig. 11 zeigt noch - wie allgemein üblich - ein Schauglas  
116, durch welches hindurch die Schmelze beobachtet werden  
kann. Für weitere Funktionen sind noch Taster bzw. Leuchtdioden  
5 117, 118, 119 vorgesehen mit denen z.B. Vakuum eingeschaltet werden kann,  
Schutzgas zugeführt werden kann oder beim Gießen der Guß-  
raum mit Druckluft beaufschlagt werden kann. bzw. derartige  
Zustände (einschließlich geschlossenen "Schubladen") signalisiert  
werden können. Für die Speicherung der verschiedenen Programme können  
auch steckbare Module beispielsweise in Form von "PROM's"  
10 verwendet werden. Damit kann das Gerät auch mit neu ent-  
wickelten Programmen nachgerüstet werden.

15

20

25

30

35



MEISSNER & BOLTE, Hollerallee 73, D-2800 Bremen I

Anmelder:

BEGO Bremer Goldschlägerei  
Wilh. Herbst GmbH & Co.  
Emil-Sommer-Str. 7  
2800 Bremen 41

Hans Meissner · Dipl.-Ing. (bis 1980)  
Erich Bolte · Dipl.-Ing.  
Dr. Eugen Popp · Dipl.-Wirtsch.-Ing.\*  
Wolf E. Sajda · Dipl.-Phys.\*  
Dr. Ulrich Hrabal · Dipl.-Chem.\*

BÜRO/OFFICE BREMEN  
Hollerallee 73  
D-2800 Bremen I

Telefon: (0421) 342019  
Telex: 246157 meibo d  
Telefax: (0421) 342296

Ihr Zeichen  
Your ref.

Unser Zeichen  
Our ref.

BEG-116-EP

Bitte angeben/please quote

Datum  
Date 24. Januar 1986

Verfahren zur Steuerung des Schmelz- und Gießvorganges  
der Feingießtechnik, insbesondere der Dentaltechnik,  
und Vorrichtung zur Durchführung des Verfahrens

-----

Patentansprüche

1. Verfahren zur Steuerung des Schmelz- und Gießvorganges der Feingießtechnik, insbesondere der Dentaltechnik bei dem das Schmelzgut erwärmt und die Temperatur des Schmelzgutes ständig gemessen wird, gekennzeichnet durch folgende Schritte:
  - es wird ein erstes Signal erzeugt, das der zeitlichen Änderung ( $d\vartheta/dt$ ) der Temperatur des Schmelzgutes entspricht,
  - das Erreichen der Liquidus-Temperatur ( $\vartheta_2; \vartheta_1$ ) des Schmelzgutes wird dadurch ermittelt, daß sich bei wirksam eingeschalteter Heizung das erste Signal ( $d\vartheta/dt$ ) vergrößert, worauf ein zweites Signal er-

1

zeugt wird, das das Erreichen der Liquidus-Temperatur anzeigt, und

5

- in Abhängigkeit von dem zweiten Signal und einem auf das zweite Signal bezogenen Kriterium werden das nachfolgende weitere Aufheizen des Schmelzgutes und das Auslösen des Gießvorganges gesteuert.

10

2. Verfahren nach Anspruch 1, dadurch gekennzeichnet, daß beim Schmelzen und Gießen bestimmter Legierungen, insbesondere von Goldlegierungen das auf das zweite Signal bezogene Kriterium eine vorgegebene Zeitdauer ( $\Delta t$ ; z. B. 22 s) ist, die mit dem Auftreten des zweiten Signales beginnt, wobei nach Ablauf dieser Zeitdauer der Gießvorgang ausgelöst wird.

15

3. Verfahren nach Anspruch 1, dadurch gekennzeichnet, daß das auf das zweite Signal bezogene Kriterium eine vorgegebene Temperaturerhöhung ( $\Delta \vartheta$ ) ist, wobei der Gießvorgang dann ausgelöst wird, wenn nach Erreichen der Liquidus-Temperatur die Schmelze zusätzlich um diese vorgegebene Temperaturerhöhung ( $\Delta \vartheta$ ) erwärmt ist.

20

4. Verfahren nach Anspruch 2 oder 3, dadurch gekennzeichnet, daß die Istwerte des auf das zweite Signal bezogenen Kriteriums ( $\Delta t$  oder  $\Delta \vartheta$ ) gemessen und gespeichert werden und daß bei nachfolgenden Schmelz- und Gießvorgängen einer der gespeicherten Istwerte als Sollwert für das Auslösen des Gießvorganges verwendet wird.

25

30

5. Verfahren nach einem oder mehreren der Ansprüche 1 bis 4, dadurch gekennzeichnet, daß während des gesamten Aufheizvorganges bis zum Gießzeitpunkt der gemessene zeitliche Verlauf der Temperatur gespeichert wird, daß

35

- 1 bei nachfolgenden Schmelzvorgängen der dann gemessene  
zeitliche Verlauf der Temperatur mit den gespeicherten  
Werten laufend bzw. abschnittsweise verglichen wird und  
5 daß bei Übereinstimmung (innerhalb vorgegebener Toleran-  
zen) zwischen einem gespeicherten und einem gemessenen  
Verlauf der Gießzeitpunkt und/oder die Gießtemperatur in  
Abhängigkeit von den Gießdaten des gespeicherten Verlaufs  
gesteuert wird.
- 10
6. Verfahren nach einem oder mehreren der Ansprüche  
1 bis 5, dadurch gekennzeichnet, daß die von der als  
Induktionsspule ausgebildeten Heizung aufgenommene  
15 elektrische Leistung gemessen wird und daß das auf das  
zweite Signal bezogene Kriterium für die Auslösung des  
Gießvorganges in Abhängigkeit von der gemessenen Lei-  
stung verändert wird.
- 20 7. Vorrichtung zur Steuerung des Schmelz- und Gieß-  
vorganges der Feingießtechnik, insbesondere der Dental-  
technik, insbesondere zur Durchführung des Verfahrens  
nach einem oder mehreren der Ansprüche 1 bis 6, mit einem  
Schmelztiegel, einer einstellbaren Heizeinrichtung, einem  
25 Temperaturfühler zur Messung der Temperatur des Schmelz-  
gutes und mit einer Steuereinrichtung zur Auslösung des  
Gießvorganges, dadurch gekennzeichnet, daß die Steuerein-  
richtung ein erstes Signal erzeugt, das der zeitlichen  
Änderung ( $\frac{dT}{dt}$ ) der Temperatur des Schmelzgutes ent-  
30 spricht, daß eine Einrichtung vorgesehen ist, die aus dem  
ersten Signal das Erreichen der Liquidus-Temperatur des  
Schmelzgutes dadurch bestimmt, daß sich das erste Signal  
vergrößert, worauf die Einrichtung ein zweites Signal  
erzeugt, daß die Einrichtung weiterhin in Abhängigkeit  
35 von dem Auftreten des zweiten Signales eine Bezugsgröße

1  
5  
8. Vorrichtung nach Anspruch 7, festsetzt, wobei die weitere Einrichtung ausgehend von der Bezugsgröße in Abhängigkeit von einem vorgegebenen Kriterium den Gießvorgang auslöst.

10  
9. Vorrichtung nach Anspruch 7, dadurch gekennzeichnet, daß die weitere Einrichtung ein Zeitgeber ist, der von der ersten Einrichtung (Zeitpunkt  $t_1$ ) gestartet wird und der nach Ablauf einer vorgegebenen Zeitdauer ( $\Delta t$ ) den Gießvorgang auslöst.

15  
20  
10. Vorrichtung nach Anspruch 7 oder 8, dadurch gekennzeichnet, daß die weitere Einrichtung folgendes enthält: einen Bezugswertgeber, in welchem ein vorgegebener Wert ( $\Delta \vartheta$ ) gespeichert ist, sowie einen Vergleicher, der die gemessene Temperatur des Schmelzgutes mit der Summe aus der von der ersten Einrichtung ermittelten Liquidus-Temperatur und dem Wert ( $\Delta \vartheta$ ) des Bezugswertgebers vergleicht und bei Übereinstimmung beider Eingangsgrößen den Gießvorgang auslöst.

25  
30  
11. Vorrichtung nach einem oder mehreren der Ansprüche 7 bis 9, gekennzeichnet durch einen Speicher, der die gemessenen Istwerte des auf das zweite Signal bezogenen Auslösekriteriums ( $\Delta \vartheta$  bzw.  $\Delta t$ ) speichert und durch eine Ausleseeinrichtung, die bei nachfolgenden Schmelz- und Gießvorgängen die gespeicherten Istwerte aus dem Speicher ausliest und als Sollwert für die Auslösekriterien der Steuereinrichtung zuführt.

35  
12. Vorrichtung nach einem oder mehreren der Ansprüche 7 bis 10, gekennzeichnet durch einen weiteren Speicher, in welchem die gemessenen Werte des zeitlichen Verlaufes der Temperatur gespeichert werden und durch

- 1 eine Vergleichseinrichtung, die die gespeicherten Werte  
des zeitlichen Verlaufs mit den aktuell gemessenen Werten  
des zeitlichen Verlaufs der Temperatur vergleicht und bei  
5 Übereinstimmung zwischen den gemessenen Werten und einem  
gespeicherten Kurvenverlauf die weiteren Werte des ge-  
speicherten Kurvenverlaufes als Sollwert für die  
Steuerung ausgibt.
- 10 12. Vorrichtung nach einem oder mehreren der An-  
sprüche 7 bis 11, gekennzeichnet durch eine Ausgabe-  
einrichtung, insbesondere einen Drucker, der die ge-  
messenen Istwerte des zeitlichen Verlaufs der Tem-  
peratur sowie sonstige Parameter ausdruckt.
- 15 13. Vorrichtung nach einem oder mehreren der An-  
sprüche 7 bis 12, gekennzeichnet durch eine Einrich-  
tung zur Messung der von der Induktionsspule aufge-  
nommenen Leistung sowie durch eine Korrektureinrich-  
20 tung, die die eingegebenen oder gespeicherten Werte  
für das Auslösekriterium des Gießvorganges ( $\Delta t$  bzw.  
 $\Delta \vartheta$ ) in Abhängigkeit von dem Ausgangssignal der  
Leistungsmeßeinrichtung verändert.

25

30

35

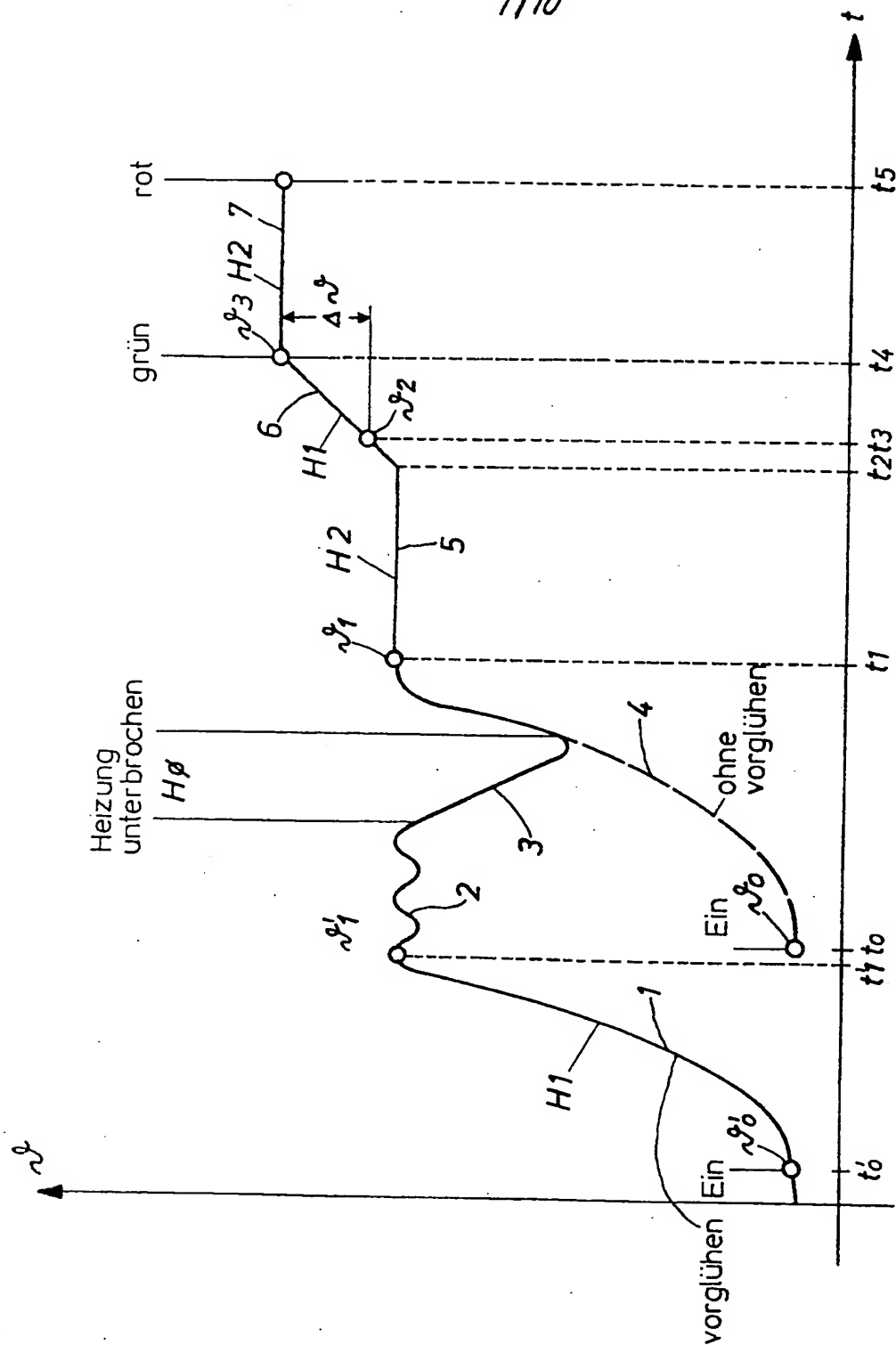


Fig.1

0191350

2/10

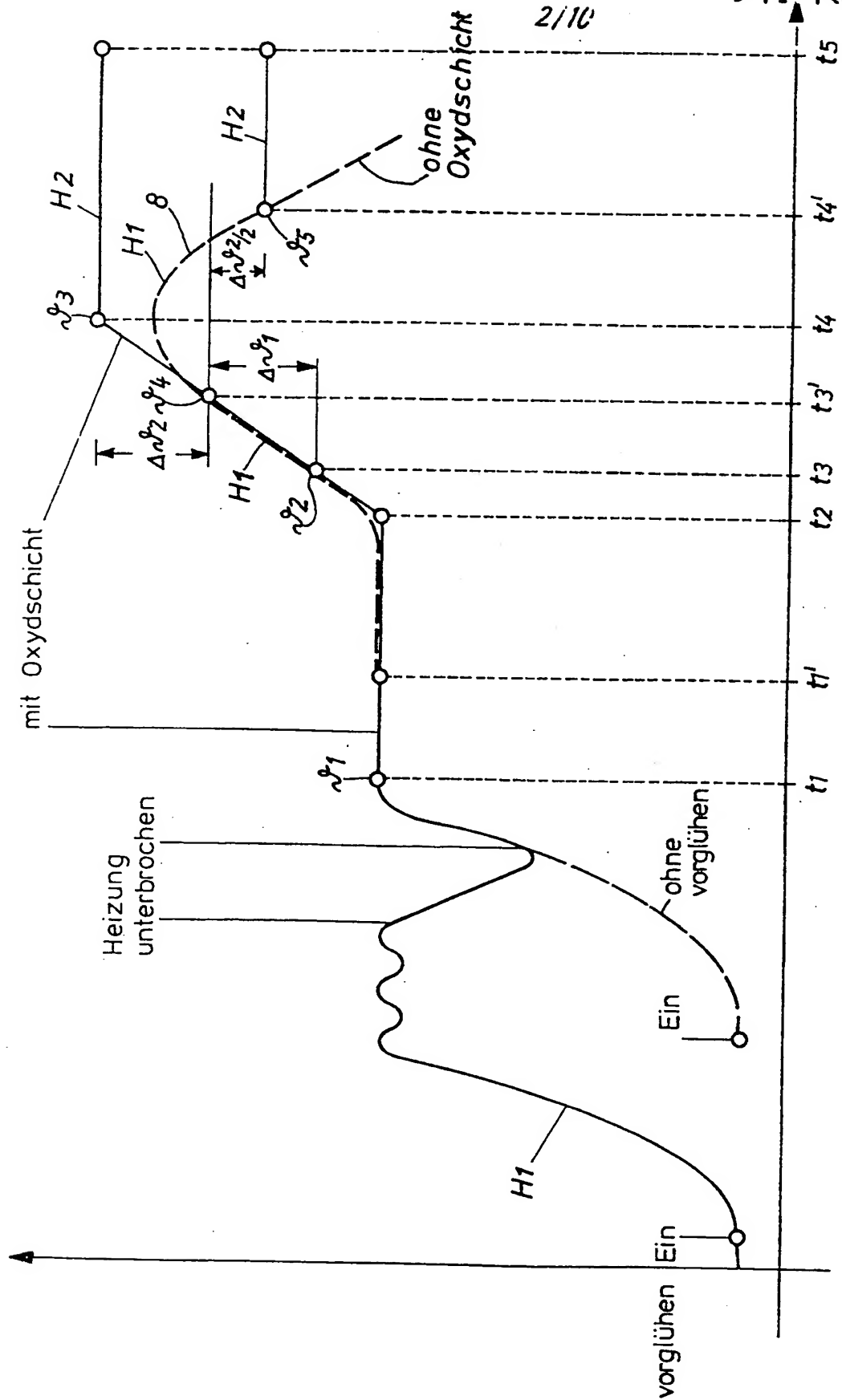


Fig. 2

3/10

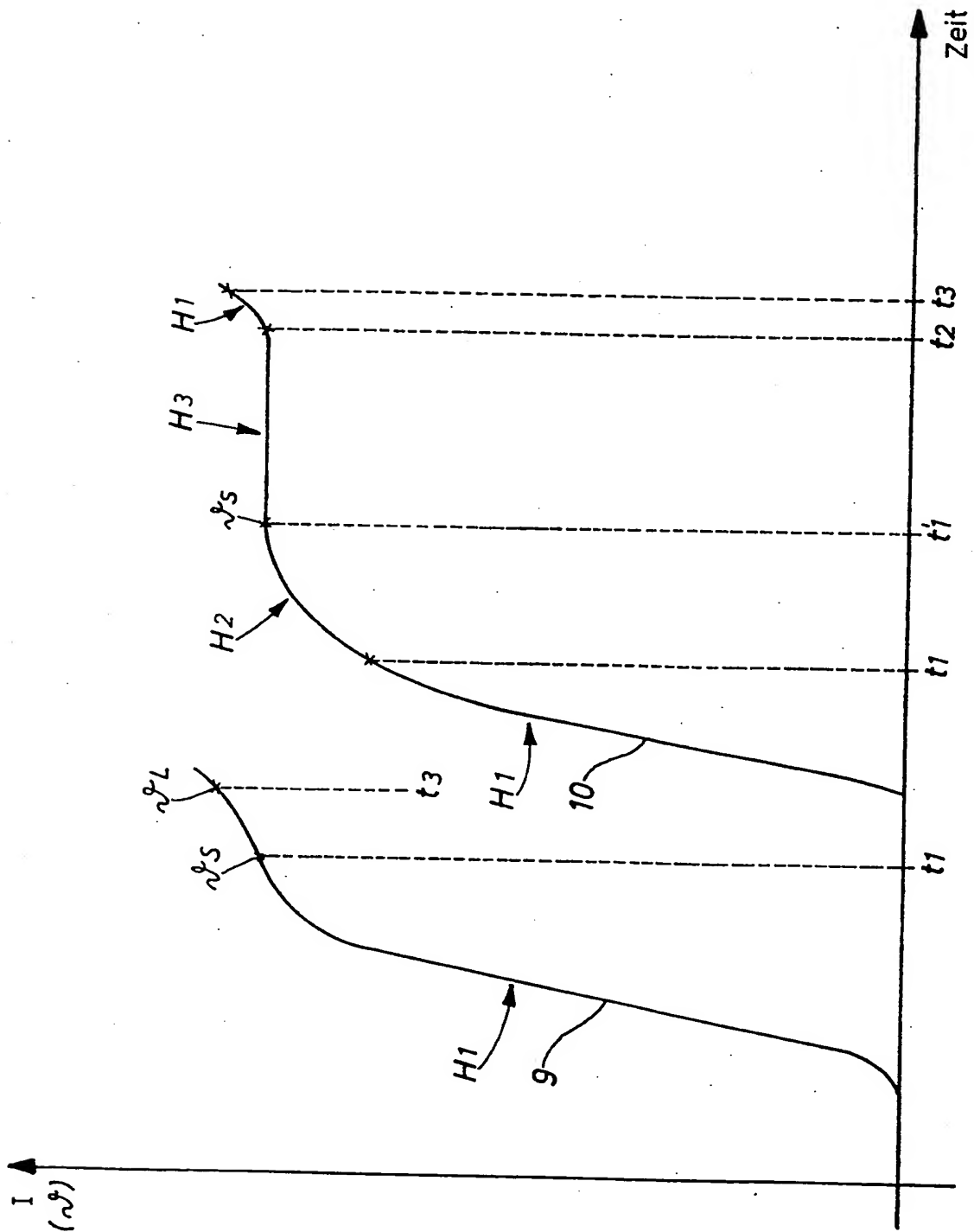


Fig. 3



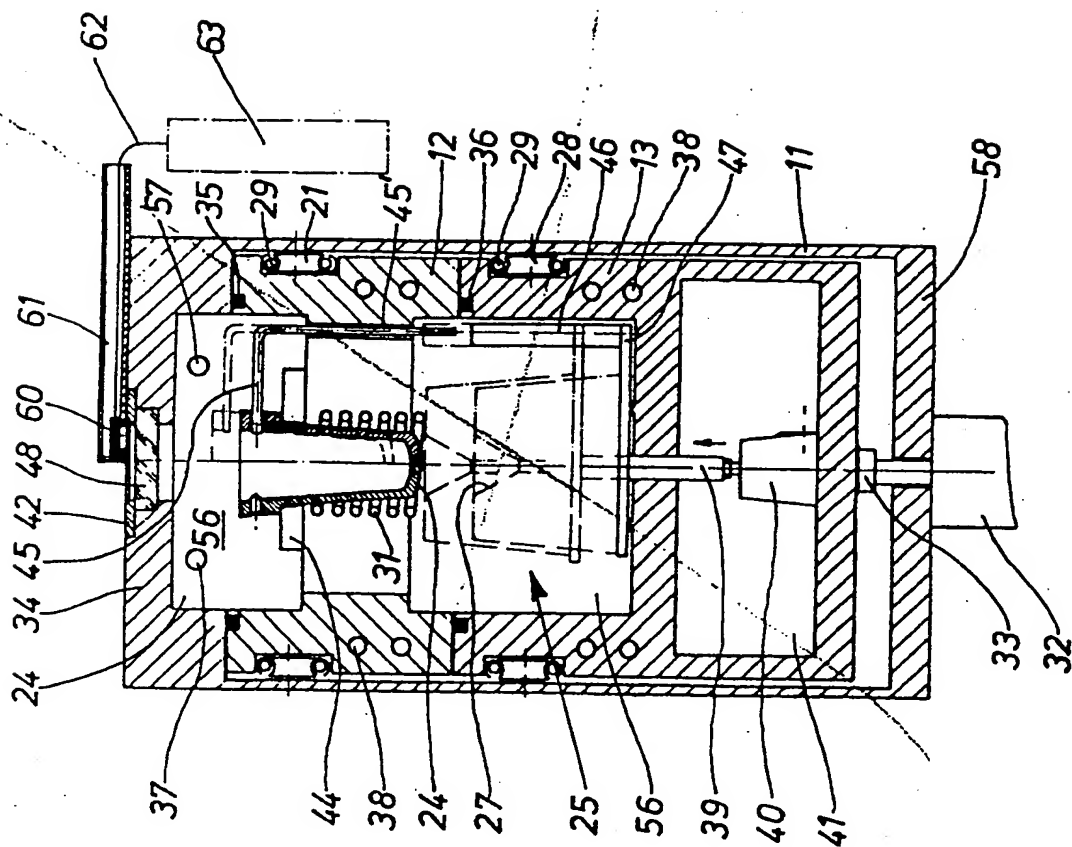
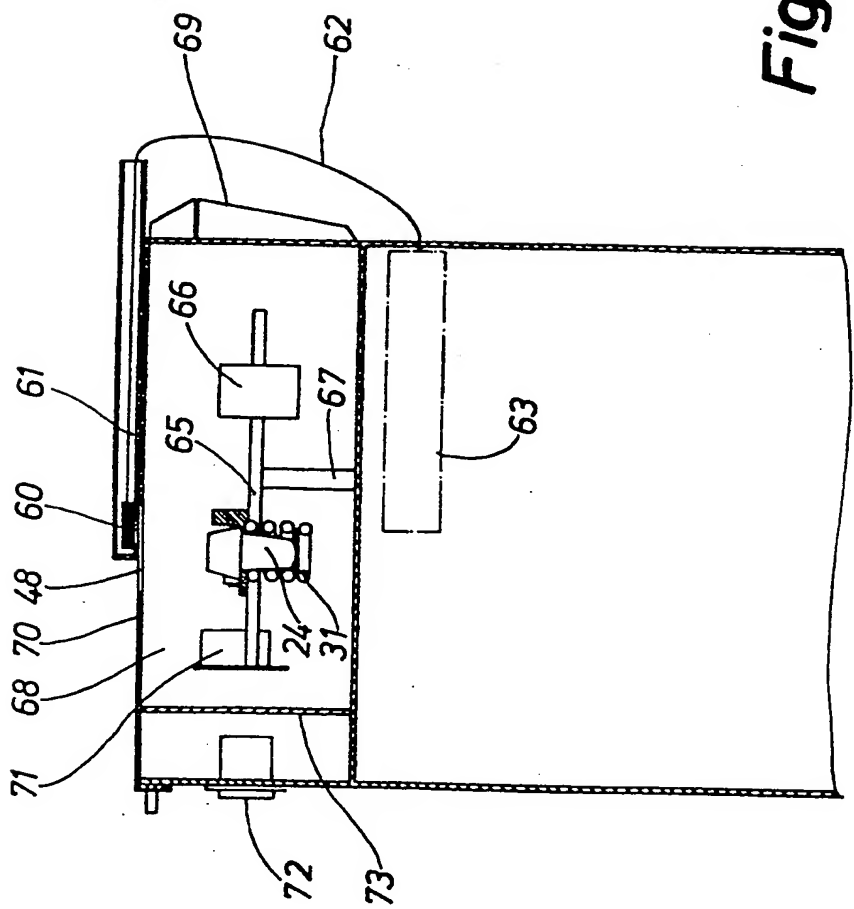
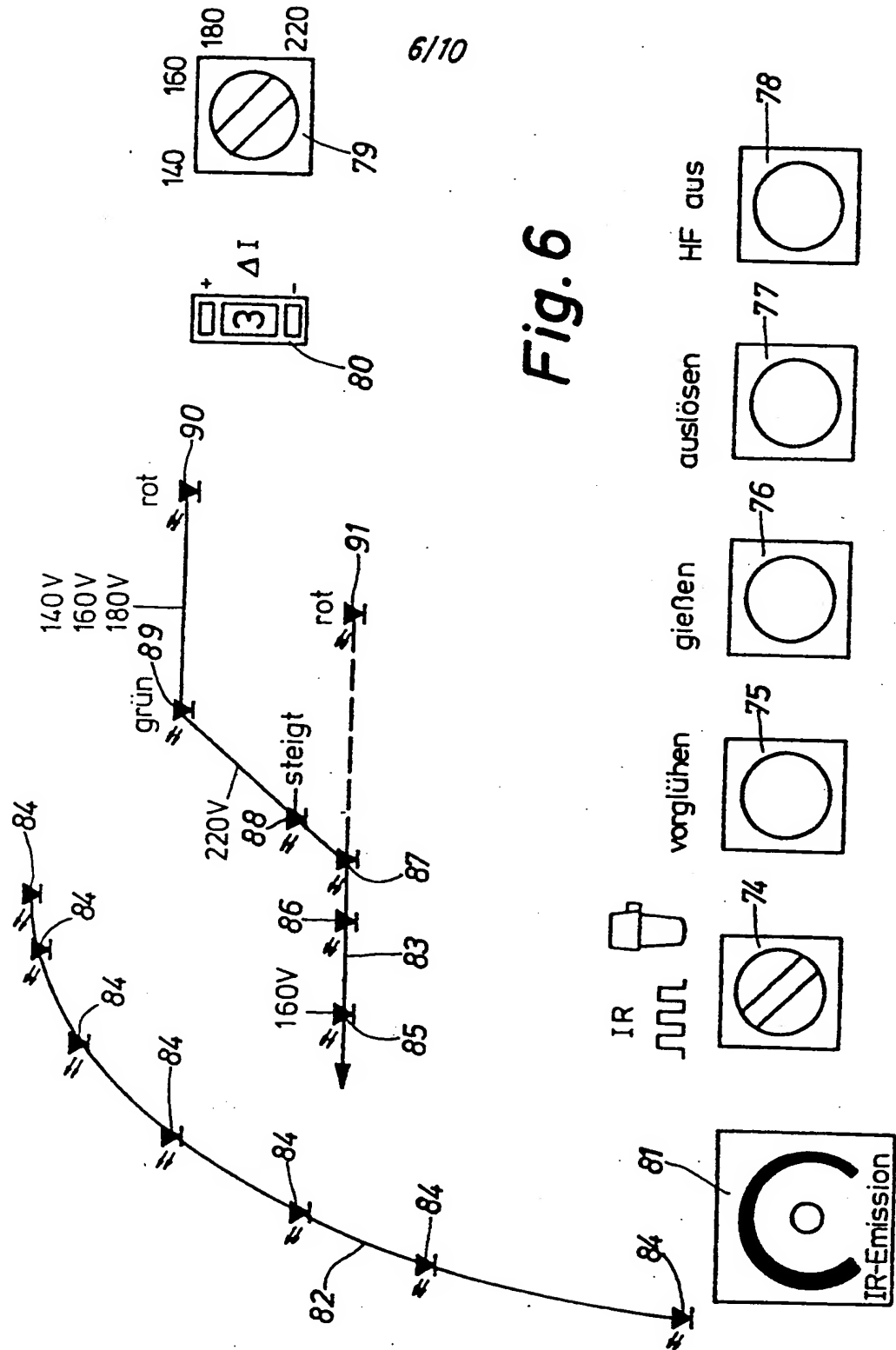


Fig. 4

Fig. 5





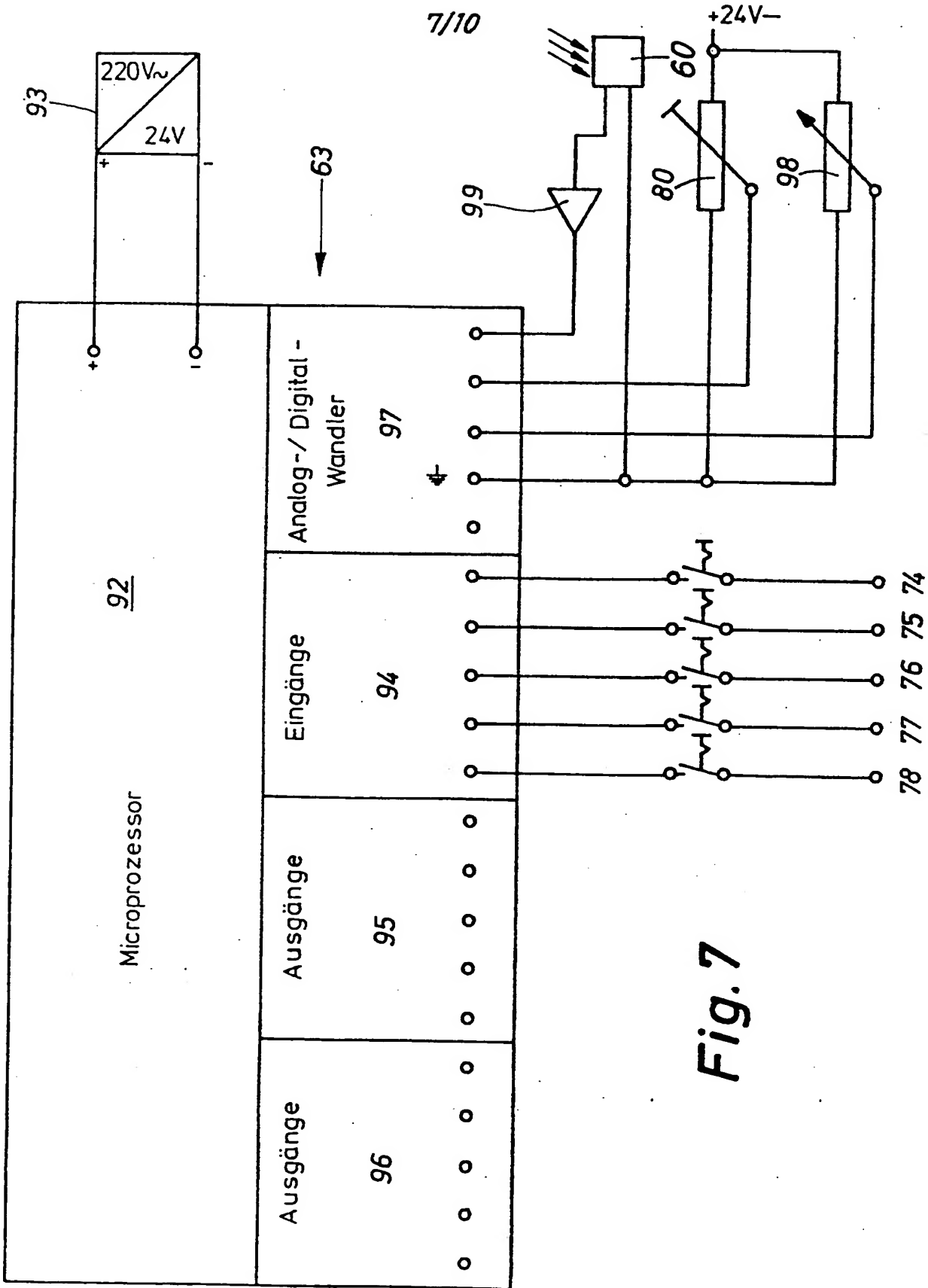
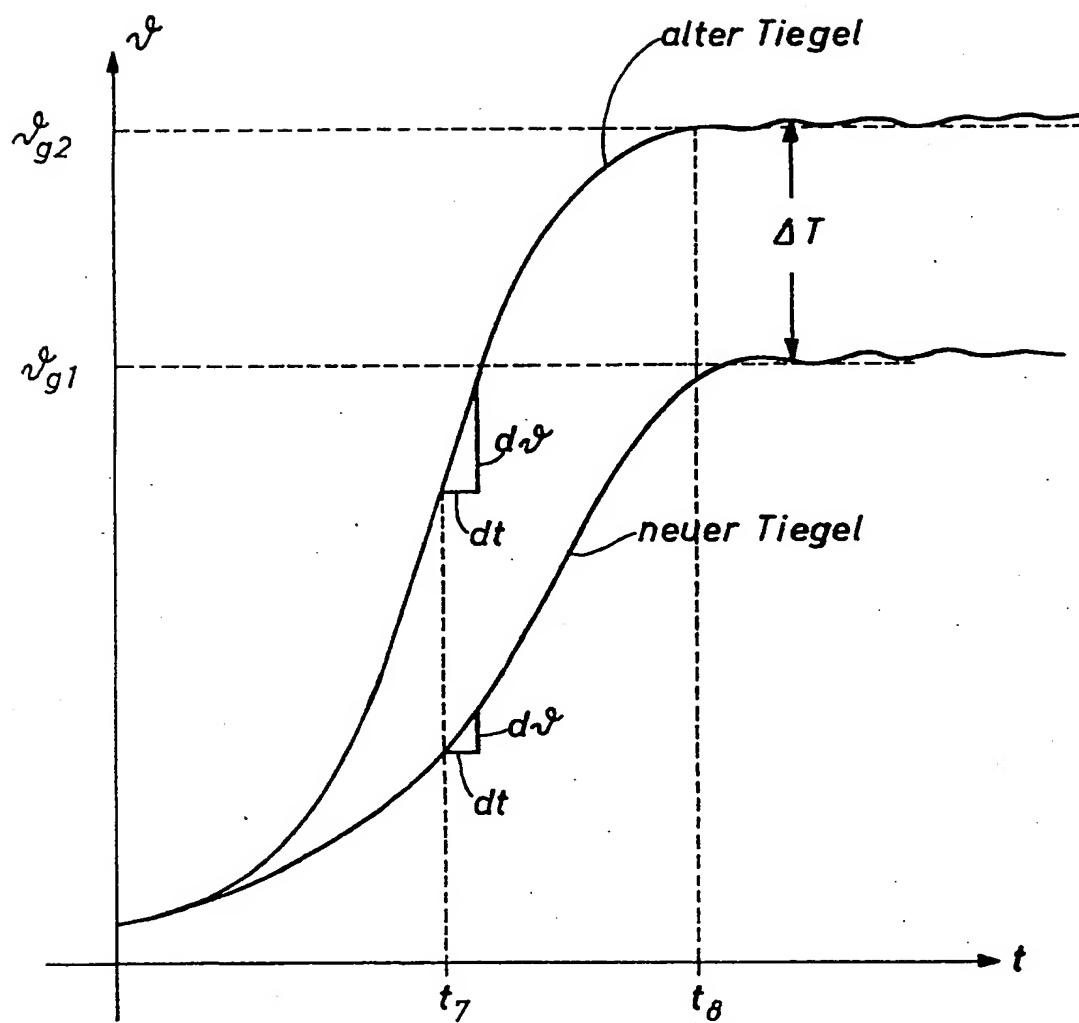


Fig. 7

8/10

**Fig. 8**

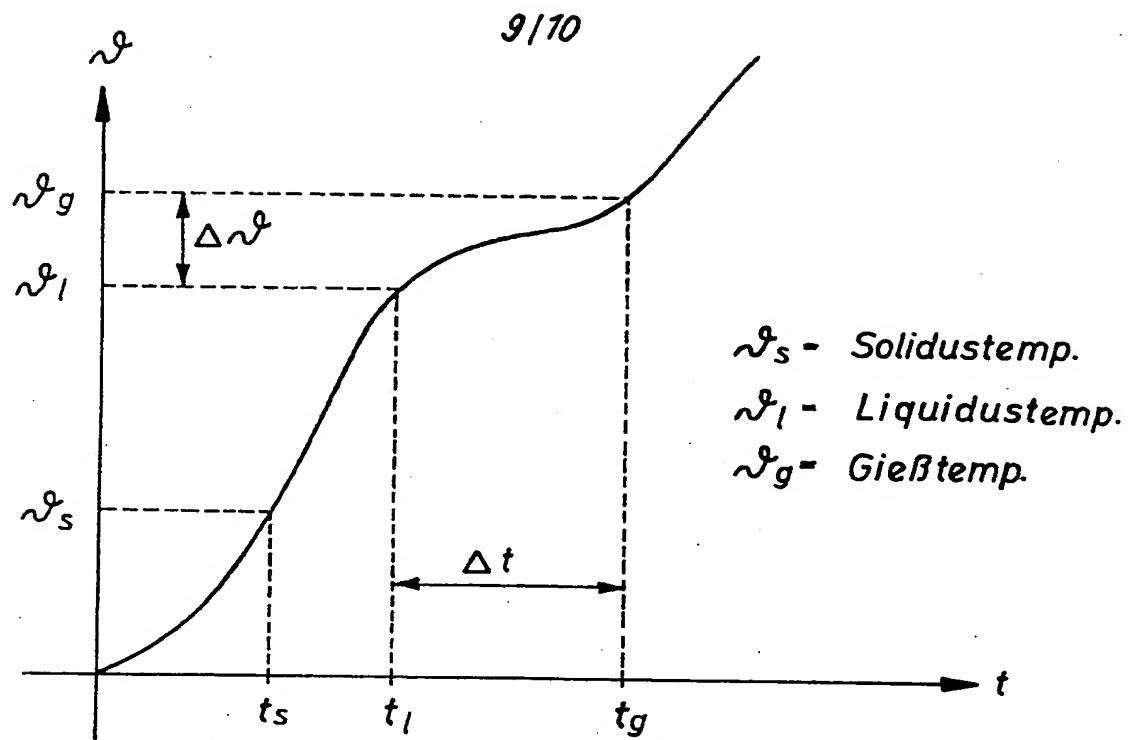


Fig.9

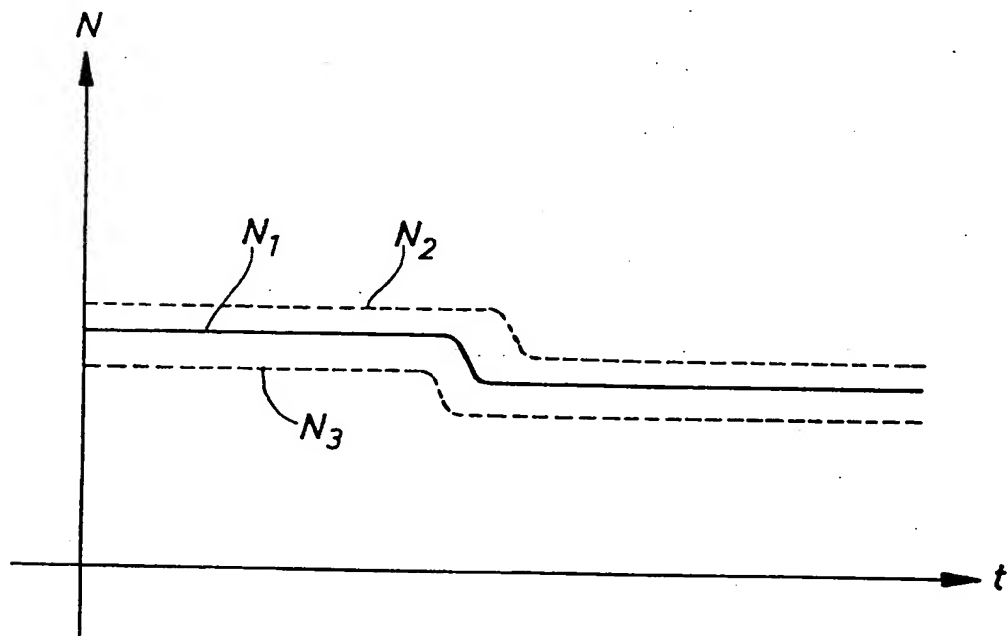


Fig.10

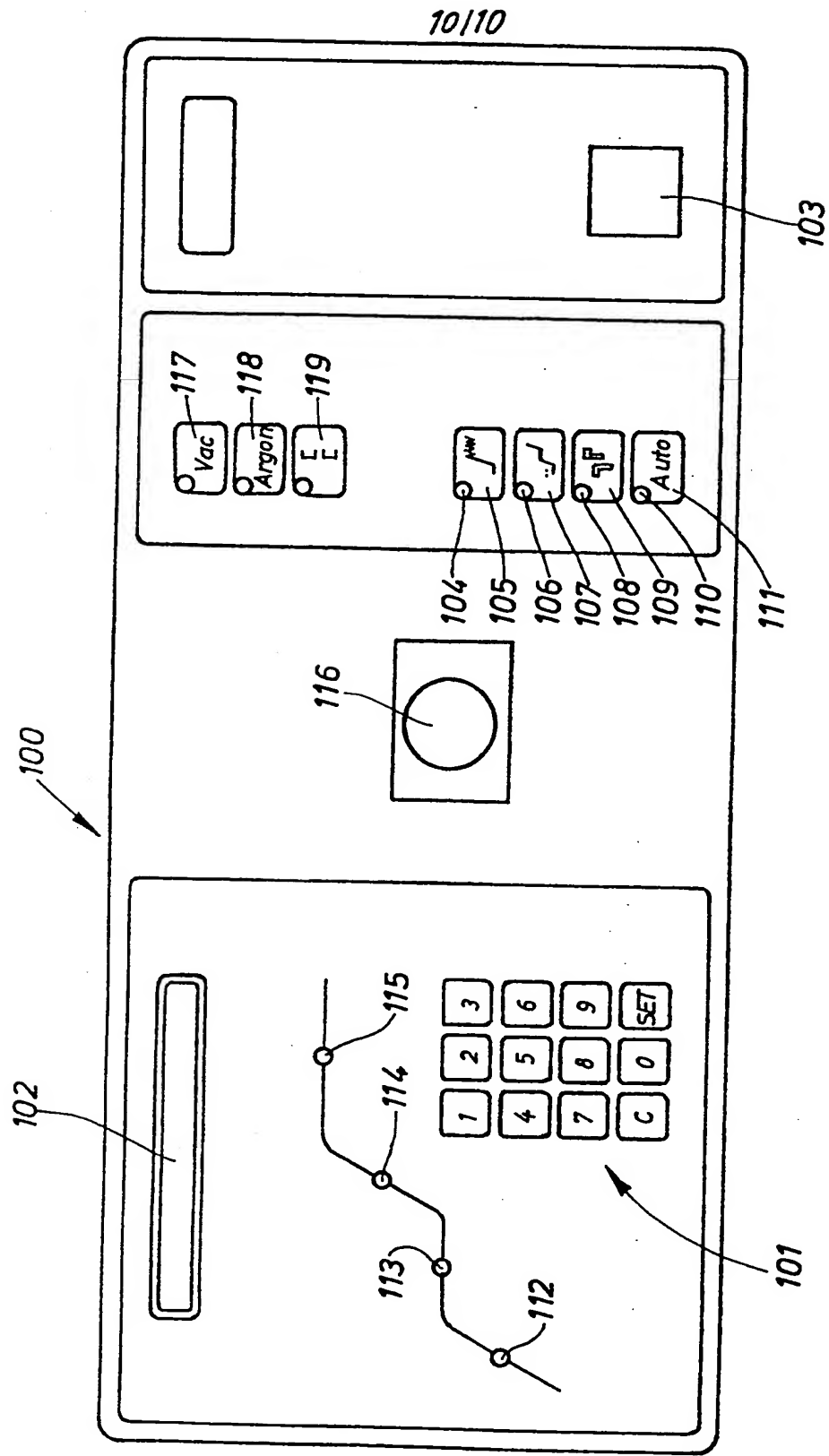


Fig.11